

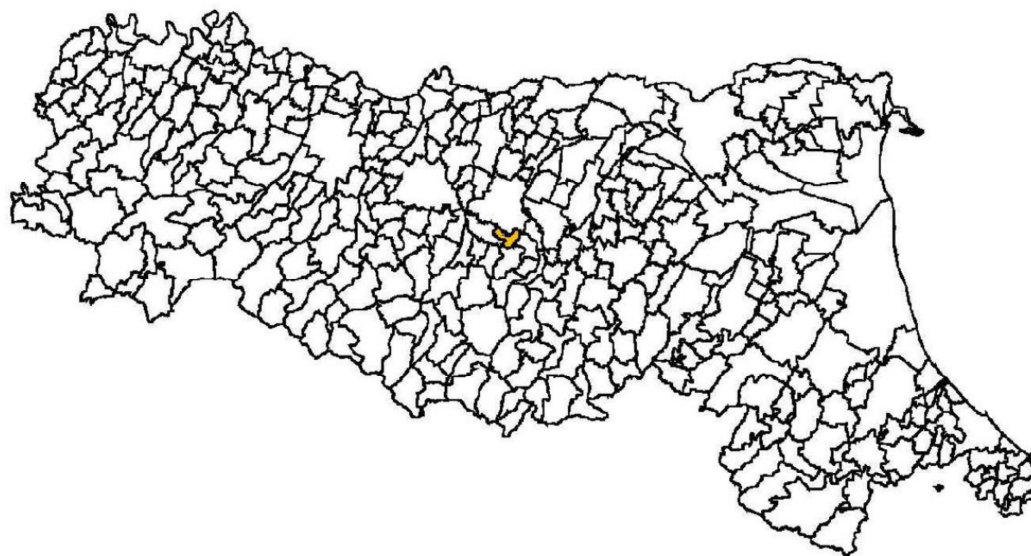
Attuazione dell'articolo 11 della legge 24 giugno 2009, n. 77

MICROZONAZIONE SISMICA

Relazione illustrativa

Regione Emilia-Romagna

Comune di Castelnuovo Rangone



| | | |
|-----------------------|---|---------------------|
| Regione | Soggetto realizzatore | Data |
| EMILIA-ROMAGNA | Dott. geol. Stefano Castagnetti  | OTTOBRE 2015 |

INDICE

| | | |
|-----|---|----|
| 1. | Introduzione..... | 1 |
| 2. | Definizione della pericolosità di base e degli eventi di riferimento..... | 4 |
| 2.1 | Inquadramento tettonico | 4 |
| 2.2 | Caratteristiche sismotettoniche | 6 |
| 2.3 | Storia sismica..... | 8 |
| 2.4 | Classificazione sismica comunale..... | 14 |
| 3. | Dati geotecnici e geofisici | 18 |
| 4. | Modello del sottosuolo..... | 19 |
| 5. | Interpretazioni e incertezze | 21 |
| 6. | Metodologie di elaborazione e risultati | 23 |
| 7. | Elaborati cartografici..... | 25 |
| 7.1 | Carta delle indagini | 25 |
| 7.2 | Carta geologico-tecnica | 26 |
| 7.3 | Carta delle frequenze naturali dei terreni..... | 35 |
| 7.4 | Carta delle microzone omogenee in prospettiva sismica | 38 |
| 7.5 | Carta delle velocità delle onde di taglio S | 42 |
| 7.6 | Carta di microzonazione sismica – Livello 2 | 43 |
| 7.7 | Commenti finali e criticità | 46 |
| 8. | Confronto della distribuzione dei danni degli eventi passati..... | 47 |
| 9. | Elaborati | 48 |

1. Introduzione

Nella presente Relazione illustrativa vengono descritte le attività svolte e i risultati ottenuti nel corso dello Studio di microzonazione sismica di II livello del Comune di Castelnuovo Rangone (MO), effettuato su incarico dell'Unione Terre di Castelli (Contratto Prot. n° 1804/2014/C, stipulato il 23/04/2014) e finanziato con OPCM 20 febbraio 2013 n. 52 "Contributi per gli interventi di prevenzione del rischio sismico per l'annualità 2012" (G.U. n° 50 del 20.2.2013).


Gli studi di Microzonazione Sismica (MS) hanno l'obiettivo di razionalizzare le conoscenze in merito alle alterazioni che lo scuotimento sismico può subire in superficie e di fornire informazioni utili al governo del territorio, alla progettazione, alla pianificazione per l'emergenza e alla ricostruzione post sisma.

La Microzonazione Sismica consente di suddividere il territorio esaminato in base alla presenza e alla distribuzione dei fenomeni di possibile amplificazione dello scuotimento, legati alle caratteristiche litostratigrafiche e morfologiche delle singole aree considerate ed ai possibili fenomeni di instabilità e deformazione permanente in esse attivati dal sisma. L'insieme di queste conoscenze sul comportamento dei terreni durante un evento sismico e sui possibili effetti indotti dallo scuotimento, è un indispensabile strumento di prevenzione e di riduzione del rischio sismico, particolarmente efficace, se realizzato e applicato durante la pianificazione urbanistica, per indirizzare le scelte di trasformazione verso aree a minore pericolosità.

Il Comune di Castelnuovo Rangone è dotato di uno studio di Microzonazione Sismica curato dallo scrivente professionista nel 2009, nel rispetto delle indicazioni tecniche di cui all'Atto di indirizzo e coordinamento tecnico approvato con D.A.L. 112/2007.

Tale studio, redatto a corredo del Quadro Conoscitivo del PSC intercomunale, fu rivolto al territorio dei Comuni di Castelnuovo Rangone, Castelvetro di Modena, Savignano sul Panaro, Spilamberto e Vignola e fu oggetto di uno specifico accordo sottoscritto dall'Unione (Delibera G.U. n° 8/2008) con il Servizio Geologico, Sismico e dei Suoli della Regione Emilia-Romagna, la Provincia di Modena e il CNR – Sezione di Milano, in quanto l'areale dell'Unione Terre di Castelli venne individuato quale area ottimale per testare le tabelle di calcolo contenute nell'All. 2 alla citata DAL 112/2007.


Lo studio non fu esteso all'intero territorio intercomunale, ma fu limitato ad alcuni areali per i quali il Documento Preliminare prevedeva una significativa trasformazione urbanistica.

| | | | |
|---|------------------------|--------------|---------|
|  Studio di geologia dott. Stefano Castagnetti | Elaborato | Data | Pag. |
| | Relazione illustrativa | Ottobre 2015 | 1 di 48 |

Il nuovo studio, partendo da tale base informativa, ha comportato l'acquisizione di ulteriori dati pregressi e l'esecuzione di una nuova campagna d'indagini, costituita da n° 23 prove tromografiche.

Tutte le attività svolte e, in particolare, l'elaborazione e la redazione degli elaborati richiesti, sono state effettuate nel rispetto dei seguenti riferimenti tecnici:

- Allegato C “Criteri per la realizzazione degli studi di microzonazione sismica, di cui all’Ordinanza del Capo Dipartimento della Protezione Civile n. 52/2013 e Decreto del Capo Dipartimento della Protezione Civile del 15 aprile 2013” della deliberazione di Giunta regionale n. 1919 del 16.12.2013 “Approvazione dei criteri per gli studi di microzonazione sismica ed assegnazione dei contributi di cui all’Ordinanza del Capo Dipartimento della Protezione Civile n. 52/2013 a favore degli Enti Locali” (di seguito “Allegato C della delibera regionale”)
- Allegato D “Indicazioni per l’archiviazione informatica, rappresentazione e fornitura dei dati degli studi di microzonazione sismica e dell’analisi della condizione limite per l’emergenza, di cui all’ordinanza del Capo Dipartimento della Protezione Civile n. 52/2013 e decreto del 15 aprile 2013 del Capo del Dipartimento della Protezione Civile” della deliberazione di Giunta regionale n. 1919 del 16.12.2013 “Approvazione dei criteri per gli studi di microzonazione sismica ed assegnazione dei contributi di cui all’Ordinanza del Capo Dipartimento della Protezione Civile n. 52/2013 a favore degli Enti Locali” (di seguito “Allegato D della delibera regionale”)
- “Microzonazione sismica - Standard di rappresentazione e archiviazione informatica” - Versione 3.0, Roma, ottobre 2013 - Elaborato e approvato nell’ambito dei lavori della Commissione tecnica per la microzonazione sismica, nominata con DPCM 21 aprile 2011 (di seguito “SRAI”)
- “Indirizzi e criteri per la microzonazione sismica” approvati dal Dipartimento della Protezione Civile e dalla Conferenza delle Regioni e delle Province Autonome e successive modifiche e integrazioni (di seguito “ICMS”)
- Allegato A della deliberazione dell’ Assemblea Legislativa della Regione Emilia Romagna n. 112 del 2.5.2007: Approvazione dell’Atto di indirizzo e coordinamento tecnico ai sensi dell’art.16 comma 1, della L.R. 20/2000 per “Indirizzi per gli studi di microzonazione sismica in Emilia-Romagna per la pianificazione territoriale e urbanistica” (di seguito “Indirizzi regionali”)

| | | | |
|---|------------------------|--------------|---------|
|  Studio di geologia dott. Stefano Castagnetti | Elaborato | Data | Pag. |
| | Relazione illustrativa | Ottobre 2015 | 2 di 48 |

Nel rispetto dei riferimenti tecnici sopramenzionati, lo studio è stato articolato in due differenti fasi di approfondimento:

PRIMO LIVELLO DI APPROFONDIMENTO, avente le seguenti finalità:

- Definire il modello geologico di base per la microzonazione sismica (litologia, stratigrafia, tettonica e loro rapporti geometrici).
- Individuare le aree suscettibili di effetti locali in cui effettuare le successive indagini di microzonazione sismica.
- Definire il tipo di effetti attesi.
- Indicare, per ogni area, il livello di approfondimento necessario.

SECONDO LIVELLO DI APPROFONDIMENTO, avente le seguenti finalità:


- Conferma delle condizioni di pericolosità indicate dal precedente livello di approfondimento ed eventuale nuova perimetrazione delle aree in cui effettuare la microzonazione sismica.
- Suddivisione dettagliata del territorio, in base all'amplificazione attesa, in aree a maggiore e minore pericolosità sismica.
- Conferma o migliore definizione delle aree, indicate dal livello di approfondimento precedente, in cui si ritengono necessari approfondimenti di terzo livello e indicazione delle indagini e analisi da effettuare.

Le aree oggetto di MS presentano una superficie di circa 620 Ha, corrispondente a circa il 28% dell'intero territorio comunale.

Per l'archiviazione dei dati e l'editing dei documenti sono stati seguiti gli standard di riferimento forniti dall'Allegato D della Delibera regionale e dagli SRAI (Standard di rappresentazione e archiviazione informatica).

Per l'inserimento dei dati alfanumerici dei siti, delle indagini e dei parametri è stato utilizzato l'apposito software: "MS - SoftMS", versione 3.0.

I dati cartografici sono stati allestiti in formato vettoriale (shapefile) e gli elaborati sono stati prodotti in versione cartacea e in versione digitale (pdf con risoluzione di 300 dpi).

| | | | |
|---|------------------------|--------------|---------|
|  Studio di geologia dott. Stefano Castagnetti | Elaborato | Data | Pag. |
| | Relazione illustrativa | Ottobre 2015 | 3 di 48 |

2. Definizione della pericolosità di base e degli eventi di riferimento

2.1 Inquadramento tettonico

Il territorio dell'Unione Terre di Castelli, sotto il profilo geologico, ricade a cavallo del margine appenninico-padano, ovvero della zona costituita dalle colline del basso Appennino e della fascia pedemontana della Pianura Padana.

L'estremità meridionale del territorio, costituita dalle colline altimetricamente più elevate dei Comuni di Castelvetro di Modena e Savignano sul Panaro, è caratterizzata dalla presenza di unità tettoniche appartenenti al settore di catena appenninica, strutturate in un edificio a falde di ricoprimento, originatosi in seguito all'interazione tra le placche Africana ed Euroasiatica. Queste unità tettoniche sono rappresentate dalle Unità Liguri, costituite da successioni pelagiche deposte su crosta oceanica nell'arco di tempo compreso tra il Cretacico e l'Eocene medio, e dalla Successione Epiligure che si è deposta in discordanza sulle precedenti, tra l'Eocene medio e il Miocene.


Viceversa la zona mediana del territorio ricade nella fascia propriamente detta di margine appenninico-padano, in cui affiorano per lo più terreni appartenenti alla successione post-evaporitica, costituita da depositi in prevalenza pelitici (Formazione a Colombacci, Argille Azzurre). Tale successione alla base poggia sulle evaporiti messiniane (Formazione Gessoso-Solfifera), mentre al tetto è sigillata dai depositi continentali della Pianura Padana, affioranti estesamente nella porzione settentrionale del territorio dell'Unione.

La zona di apice della pianura modenese, che si sviluppa ai piedi dell'Appennino settentrionale e che è delimitata lateralmente dai fiumi Secchia e Panaro, si raccorda con il solco vallivo intercollinare a quote comprese fra 120 e 150 metri, in cui affiorano le successioni argillose del ciclo plio-pleistocenico, che verso valle rappresentano il substrato delle alluvioni pleistoceniche superiori e oloceniche costituenti la pianura e la sede dell'acquifero principale.

Il passaggio tra la sedimentazione marina e quella continentale è contraddistinto da depositi di transizione, quali sabbie e ghiaie di ambiente litorale e da peliti sabbiose e ghiaie di delta.

La Pianura Padana è infatti il risultato del riempimento del Bacino Perisuturale Padano, legato all'orogenesi dell'Appennino settentrionale, la cui successione di depositi plio-quadernari presenta carattere regressivo, con alla base sabbie e peliti torbiditiche, seguite da un prisma sedimentario fluvio-deltizio, progradante, ricoperto al tetto da depositi continentali.

L'interpretazione dei profili sismici eseguiti nel corso degli anni dall'AGIP (Di Dio, 1997) ha permesso di riconoscere due direzioni di progradazione: la prima, assiale, est-vergente, connessa

| | | | |
|---|------------------------|--------------|---------|
|  <p>Studio di geologia dott. Stefano Castagnetti</p> | Elaborato | Data | Pag. |
| | Relazione illustrativa | Ottobre 2015 | 4 di 48 |

al paleodelta del Po; la seconda, trasversale, nord-vergente, originata dai sistemi deltizi ad alimentazione appenninica.

Il riempimento del bacino padano ed il successivo passaggio alla sedimentazione continentale, non sono avvenuti in maniera progressiva e continua, ma sono il risultato di eventi tettonico-sedimentari “parossistici”, separati nel tempo da periodi di marcata subsidenza bacinale e movimenti ridotti delle strutture compressive. Ciò ha originato numerose superfici di discontinuità stratigrafica, che hanno permesso di suddividere i depositi di riempimento del bacino padano in unità stratigrafiche principali (Supersistema del Pliocene medio-superiore, Supersistema del Quaternario Marino e Supersistema Emiliano-Romagnolo) che, limitatamente a quelle affioranti nella zona in esame, sono oggetto di descrizione nei successivi capitoli.

I depositi affioranti della zona di pianura dell’Unione Terre dei Castelli sono riconducibili a sistemi deposizionali di conoide alluvionale, costituiti nella zona prossimale da depositi grossolani (ghiaie e sabbie) di canale fluviale, amalgamati tra loro a formare dei corpi tabulari coalescenti, mentre verso valle (zona di conoide distale) il progressivo aumento di sedimenti fini (peliti) determina la separazione dei corpi ghiaiosi.


Nella zona di fronte delle conoidi, individuabile circa all’altezza della via Emilia, le peliti sono riconducibili sia al sistema deposizionale della conoide stessa, che al sistema di sedimentazione della piana alluvionale, che si sviluppa sia al fronte che ai lati delle conoidi. È da segnalare inoltre come le conoidi più recenti, collocabili posteriormente al Neolitico, si presentino asimmetriche rispetto l’attuale corso dei corpi idrici, poiché questi ultimi sono migrati nel tempo verso occidente.

Sotto il profilo tettonico le recenti ricerche avviate dal Servizio Geologico, Sismico e dei Suoli della Regione Emilia-Romagna, sintetizzate nella “*Carta Sismotettonica della Regione Emilia-Romagna*” (2004), hanno messo in evidenza gli elementi strutturali del territorio, riconosciuti sulla base di dati morfologici e geologici (Fig. 1).

La fascia di alta pianura si inserisce in un contesto geodinamico caratterizzato da una tettonica a stile compressivo, che ha determinato un generale raccorciamento del margine appenninico e dell’edificio padano.

Tale raccorciamento si è prodotto attraverso due importanti fasci paralleli di strutture di embricazione sepolte aventi direzione NW-SE e vergenza verso NE, le cui superfici di distacco interessano la copertura mesozoica e terziaria (Boccaletti et al., 1985).

Il fascio più settentrionale, denominato *Fronte di accavallamento esterno* (External Thrust Front = ETF), appartiene all’arco delle “*Pieghe Emiliane e Ferraresi*” che costituiscono il fronte della catena appenninica, sepolto dai sedimenti quaternari padani, che circa all’altezza del Po sovrascorre verso nord sulla piattaforma padano-veneta.

| | | | |
|---|------------------------|--------------|---------|
|  Studio di geologia dott. Stefano Castagnetti | Elaborato | Data | Pag. |
| | Relazione illustrativa | Ottobre 2015 | 5 di 48 |

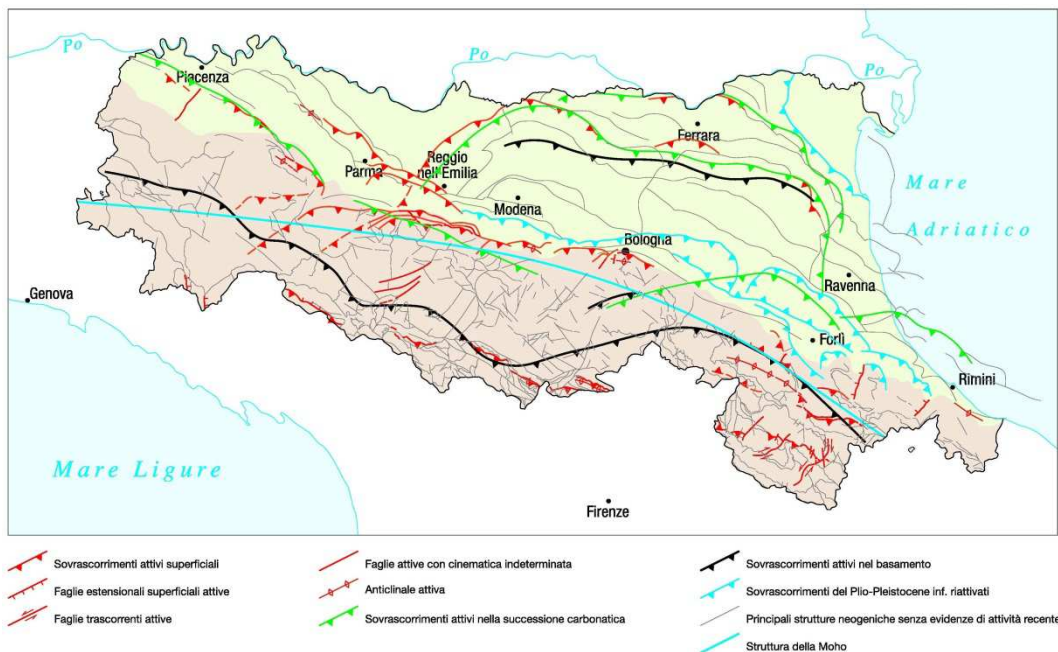


Fig. 1 - Attività neotettonica in Emilia-Romagna (da: “Note illustrative – Carta Sismotettonica della Regione Emilia-Romagna” - Servizio Geologico Sismico e dei Suoli - Regione Emilia-Romagna - 2004)


Il fascio meridionale, coincidente con il margine morfologico appenninico, si sviluppa nel sottosuolo in corrispondenza dei terrazzi pre-wurmiani ed è denominato *Fronte di accavallamento pedeappenninico* (Pedeapenninic Thrust Front = PTF). Anche questo fronte risulta coinvolto da discontinuità trasversali (linee) coincidenti con alcuni corsi d’acqua appenninici, tra i quali il F. Panaro, che delimitano settori a diverso comportamento tettonico-sedimentario.

2.2 Caratteristiche sismotettoniche

Ai fini della valutazione del rischio sismico di un’area, è fondamentale identificare le faglie attive.

Infatti, sebbene esistano strutture a scorrimento lento asismico (*fault creep o tectonic creep*), molte delle faglie attive sono considerate sorgenti sismiche, in quanto lo scorrimento istantaneo dei due lati delle stesse, che avviene allorché lo stress supera la resistenza delle rocce, genera il rilascio di onde elastiche che si propagano in tutte le direzioni. A tali faglie sismogenetiche è associato il maggior rischio.

Per la definizione di faglia attiva si fa normalmente riferimento alla possibilità che una faglia possa attivarsi in un intervallo di tempo futuro che interessa la nostra società.

| | | | |
|---|------------------------|--------------|---------|
|  <p>Studio di geologia dott. Stefano Castagnetti</p> | Elaborato | Data | Pag. |
| | Relazione illustrativa | Ottobre 2015 | 6 di 48 |

D'altra parte le faglie che hanno la maggiore probabilità di muoversi in un futuro prossimo sono da ricercarsi tra quelle che si sono mosse nelle fasi più recenti della storia geologica.


Una delle definizioni più comunemente accettata è quella della *U.S Nuclear Regulatory Commission* (1982), che definisce attive le faglie che presentano un'attivazione negli ultimi 35.000 anni o almeno due negli ultimi 500.000 anni.

Un elenco delle sorgenti sismogenetiche e delle faglie potenzialmente attive e capaci è contenuto nel DISS 3.1.1, il database delle sorgenti sismogenetiche italiane, potenzialmente in grado di generare sismi con magnitudo superiore a M 5.5 nell'area Italiana¹.

Con riferimento all'immagine di Fig. , le sorgenti sismogenetiche più significative al contorno dell'area in studio sono:

- **ITCS047 – Castelvetro di Modena-Castel San Pietro Terme**, con magnitudo massima attesa $M_w=5.6$, a cui sono associate le faglie:
 - ITIS103 – Crespellano;
 - ITIS091 – Casalecchio di Reno;
- **ITCS049 – Reggio Emilia-Rolo**, con una magnitudo massima attesa $M_w=5.5$;
- **ITCS051 – Novi-Poggio Renatico**, con una magnitudo massima attesa $M_w=5.9$, a cui è associata la faglia:
 - ITIS – Mirandola;
- **ITCS046 – Langhirano-Sassuolo**, con una magnitudo massima attesa $M_w=5.9$.

¹ Basili R., G. Valensise, P. Vannoli, P. Burrato, U. Fracassi, S. Mariano, M.M. Tiberti, E. Boschi (2008), The Database of Individual Seismogenic Sources (DISS), version 3: summarizing 20 years of research on Italy's earthquake geology, *Tectonophysics*.

| | | | |
|---|------------------------|--------------|---------|
|  Studio di geologia dott. Stefano Castagnetti | Elaborato | Data | Pag. |
| | Relazione illustrativa | Ottobre 2015 | 7 di 48 |

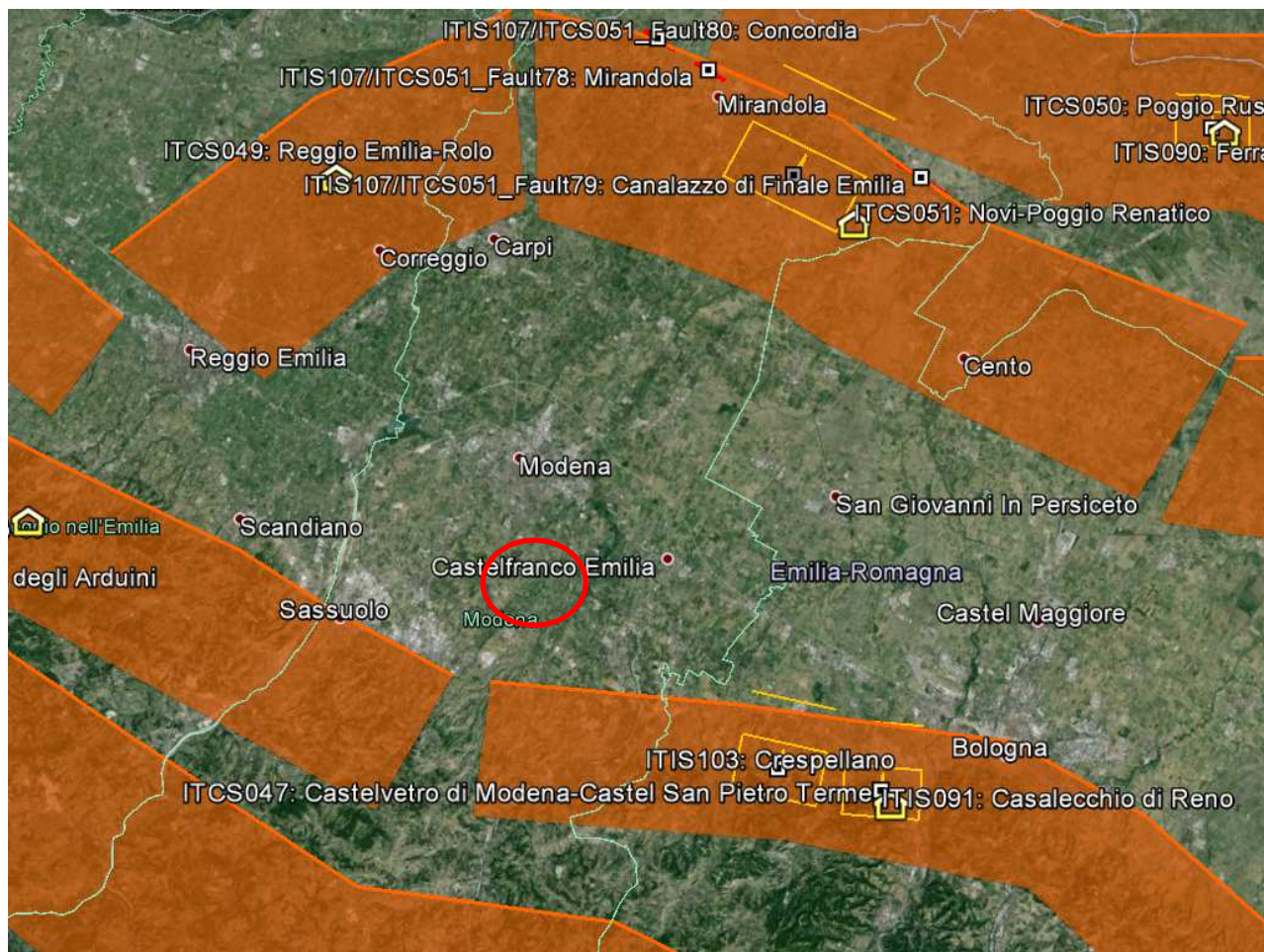



Fig. 2 – Ubicazione delle sorgenti sismogenetiche del DISS 3.1.1. Il Cerchio rosso individua approssimativamente il territorio del Comune di Castelnuovo Rangone

2.3 Storia sismica

La storia sismica del Comune di Castelnuovo Rangone è stata desunta dal Database Macrosismico Italiano, versione DBMI11², che contiene informazioni relative a 58.146 osservazioni macrosismiche dal 217 A.C. al 2002, e in cui sono presenti 6806 località con almeno 3 osservazioni.

Secondo quanto riportato in DBMI11, la storia sismica di Castelnuovo Rangone è riassunta graficamente nel diagramma riportato in Fig. 33, mentre in Tab. 1 sono elencati gli eventi di maggiore intensità, indicando per ciascuno di esse, oltre agli effetti provocati al sito, espressi come I(MCS), la data e l'ora in cui si è verificato, il numero di località in cui è stato registrato l'evento (Np), l'intensità massima epicentrale in scala MCS (Io) e la magnitudo momento (Mw).

² M. Locati, R. Camassi e M. Stucchi (a cura di), 2011. DBMI11, la versione 2011 del Database Macrosismico Italiano. Milano, Bologna, <http://emidius.mi.ingv.it/DBMI11>. DOI: 10.6092/INGV.IT-DBMI11

| | | | |
|---|------------------------|--------------|---------|
|  Studio di geologia dott. Stefano Castagnetti | Elaborato | Data | Pag. |
| | Relazione illustrativa | Ottobre 2015 | 8 di 48 |

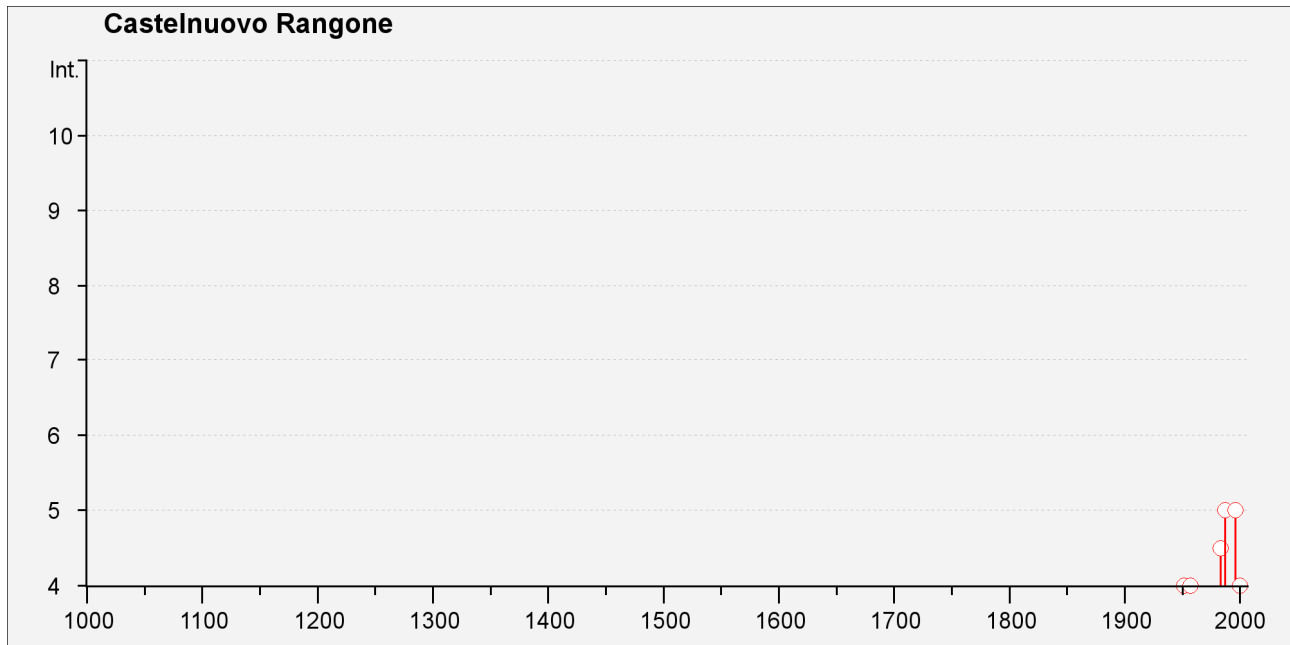


Fig. 3 – Eventi sismici di maggior interesse registrati nel Comune di Castelnuovo Rangone

Numero di eventi: 16

| Effetti | In occasione del terremoto del: | | | |
|---------|---------------------------------|--------------------|------|----------------|
| I [MCS] | Data | Ax | Np | Io Mw |
| 4 | 1951 05 15 22:54 | LODIGIANO | 154 | 6-7 5.39 ±0.14 |
| 4 | 1951 10 29 22:48 | Valle del Panaro | 3 | 4 4.25 ±0.25 |
| 4 | 1957 08 27 11:54 | ZOCCA | 58 | 5 4.65 ±0.21 |
| 3 | 1967 04 03 16:36 | Reggiano | 47 | 5-6 4.69 ±0.19 |
| NF | 1980 11 23 18:34 | Irpinia-Basilicata | 1394 | 10 6.89 ±0.09 |
| 4-5 | 1983 11 09 16:29 | Parmense | 850 | 6-7 5.06 ±0.09 |
| NF | 1986 12 06 17:07 | BONDENO | 604 | 6 4.61 ±0.10 |
| 5 | 1987 05 02 20:43 | Reggiano | 802 | 6 4.74 ±0.09 |
| NF | 1988 03 15 12:03 | Reggiano | 160 | 6 4.66 ±0.12 |
| 3 | 1992 04 17 11:59 | Monteveglia | 56 | 4-5 4.32 ±0.18 |
| 1-2 | 1995 10 10 06:54 | LUNIGIANA | 341 | 7 4.85 ±0.09 |
| 5 | 1996 10 15 09:56 | Correggio | 135 | 7 5.41 ±0.09 |
| NF | 1997 05 12 22:13 | Reggiano | 56 | 4-5 4.22 ±0.27 |
| 2-3 | 1998 02 21 02:21 | Reggiano | 104 | 5 4.34 ±0.17 |
| 4 | 2000 06 18 07:42 | Parmense | 300 | 5-6 4.43 ±0.09 |
| NF | 2002 11 13 10:48 | Franciacorta | 770 | 5-6 4.29 ±0.09 |

Tab. 1 - Massimi eventi sismici i cui effetti si sono fatti risentire a Castelnuovo Rangone

Dalla lettura di Fig. 33 e di Tab. 1 si deduce che, tra quelli censiti nel DBMI11, sono solamente 2 gli eventi sismici che hanno avuto un risentimento significativo a Castelnuovo Rangone, entrambi con effetti pari al V grado della scala MCS:

- il primo verificatosi il 15/10/1996, con epicentro a Correggio e caratterizzato da una magnitudo calcolata sulle onde di superficie (M_s) pari a 5.41
- il secondo verificatosi il 2/5/1987, anch'esso con epicentro nel reggiano, e caratterizzato da una magnitudo massima calcolata sulle onde di superficie (M_s) pari a 5.34

Tuttavia si evidenzia che mancano informazioni relative a questa località nel periodo antecedente al 1951. In particolare non vi sono notizie riguardanti il forte terremoto del 5.6.1501 con epicentro nel vicino Comune di Castelvetro di Modena, a cui viene attribuito un'intensità epicentrale pari a 5.98 Mw (9 MCS) ed effetti a Modena paria 7-8 MCS.

Inoltre, dal momento che il DBMI11 è aggiornato al 2011, non è riportato l'evento sismico del 20 maggio 2012, con epicentro nella Bassa modenese, in occasione del quale è stata registrata una magnitudo pari a 5.9 della scala Richter. Tale sisma è stato seguito da numerosissime altre scosse, di cui 6 di magnitudo superiore a 5. In Fig. 4 è riportata la distribuzione temporale delle scosse sismiche nel periodo compreso tra il 20 maggio ed il 4 giugno 2012 e la relativa intensità.

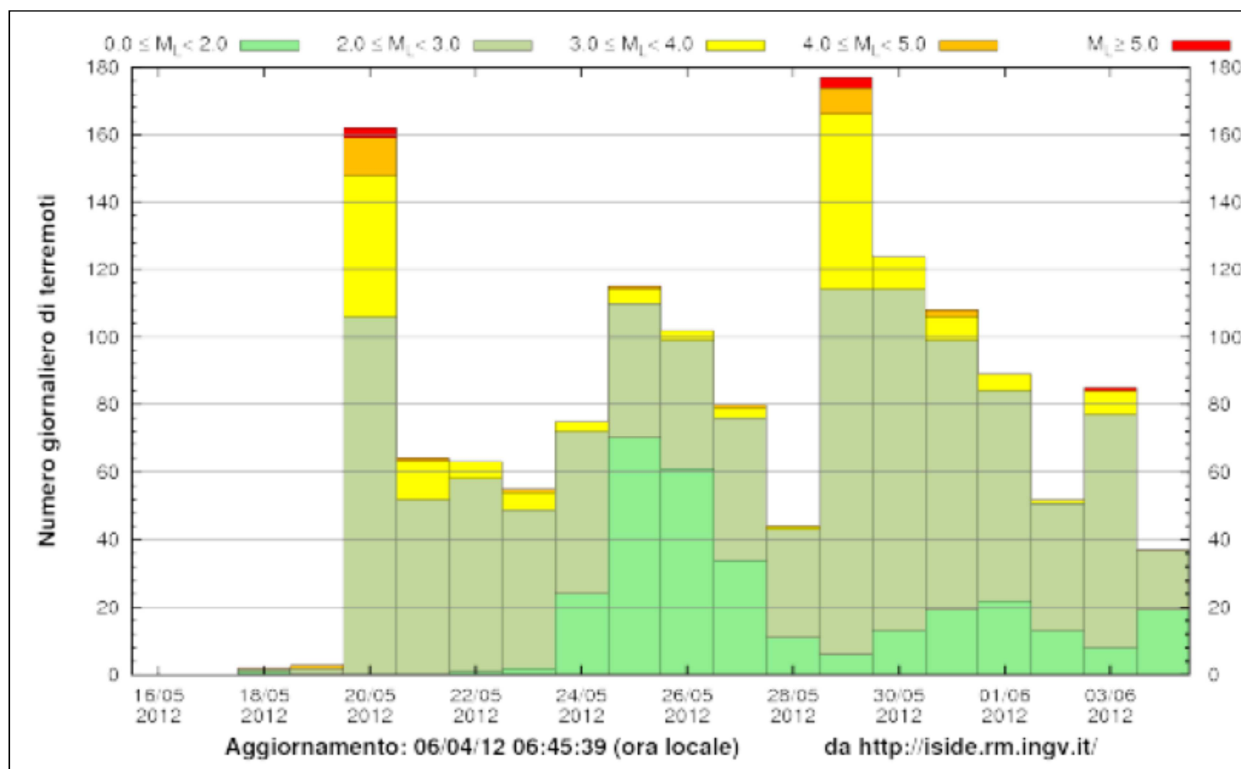



Fig. 4 – Sequenza sismica dal 20 maggio al 4 giugno 2012

| | | | |
|---|------------------------|--------------|----------|
|  <p>Studio di geologia dott. Stefano Castagnetti</p> | Elaborato | Data | Pag. |
| | Relazione illustrativa | Ottobre 2015 | 10 di 48 |

In Fig. 5 è riportata la distribuzione spaziale dei sismi con magnitudo maggiore di 4. Come si può notare dalla figura la profondità degli ipocentri è quasi sempre superficiale (5-10 Km).

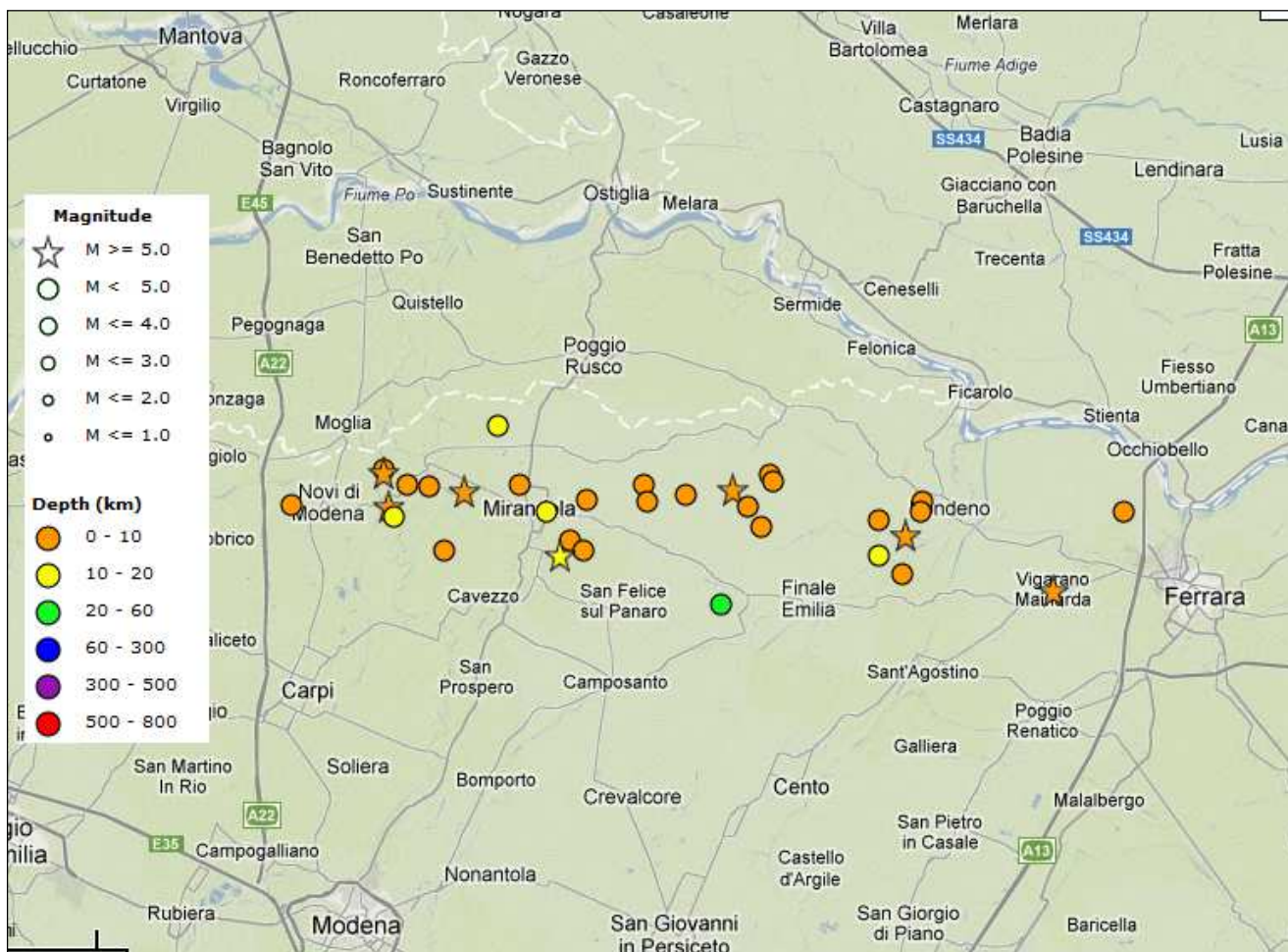


Fig. 5 – Distribuzione degli epicentri dei sismi con magnitudo>4 (da <http://iside.rm.ingv.it>)

L'elaborazione dei dati della rete sismica nazionale ha consentito ad INGV di verificare che il sisma è legato ad un meccanismo di tipo compressivo, con direzione di massima compressione nord-sud. Tale meccanismo è compatibile con la "struttura di Mirandola", faglia già valutata come potenziale sorgente sismogenetica, con magnitudo massima attesa pari a 5.9 della scala Richter.

In effetti il sisma, secondo le interpretazioni di INGV, è imputabile proprio al movimento della faglia di Mirandola, associata al sistema delle Pieghe Ferraresi, di cui si è già accennato nel paragrafo 2.1.

In Fig. 6 è rappresentata una sezione schematica delle strutture sismogenetiche che hanno generato il terremoto.

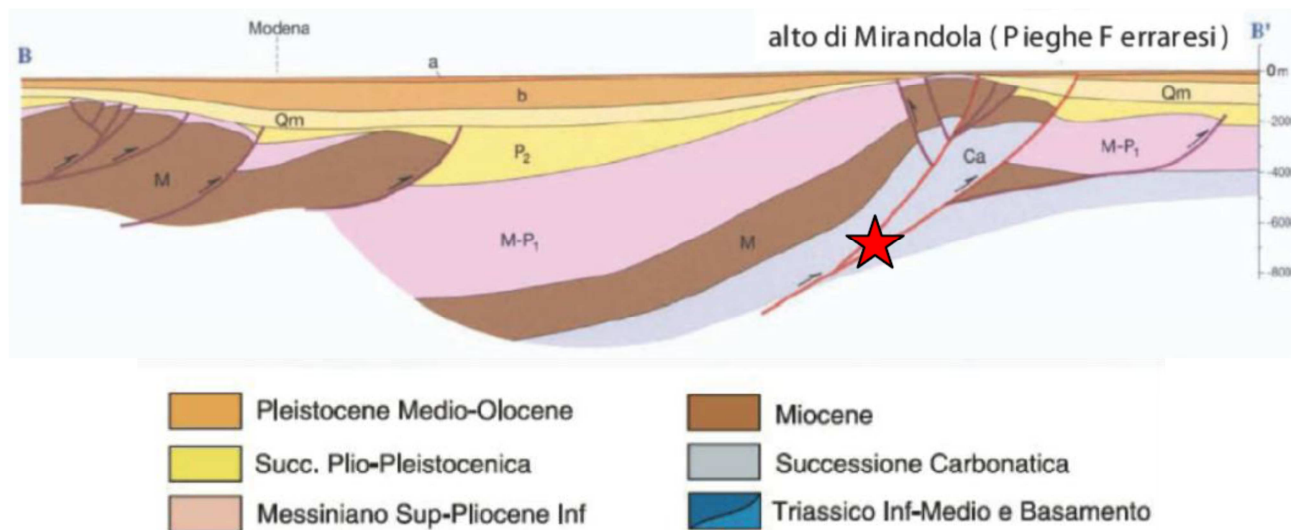


Fig. 6 - Schema delle strutture sismogenetiche (la stella indica la probabile ubicazione dell'ipocentro) da INGV: Relazione sul terremoto del 20 maggio 2012

L'evento di magnitudo $M_w=5.9$ del 20/5/2012 è stato risentito in tutto il Nord Italia e le *shakemap* calcolate subito dopo l'evento confermano queste osservazioni. In particolare, nella zona epicentrale le accelerazioni massime (PGA) sono state stimate fino a $0.3g$, ossia il 30% dell'accelerazione di gravità. Analoga accelerazione è stata calcolata per il sisma del 29/05/2012, che ha presentato una magnitudo pari a 5.8 della scala Richter.

La stazione di registrazione più vicina (appartenente alla Rete Accelerometrica Nazionale), ubicata a Mirandola (MRN), si trova ad una distanza di 13.3 km dall'epicentro dell'evento più significativo (20 maggio).

Il picco massimo d'accelerazione registrato, in occasione dell'evento più forte (IA) è di $0.309 g$, e corrisponde alla componente verticale (UP-DOWN). I picchi corrispondenti alle due componenti orizzontali (0.264 in direzione SUD-NORD e 0.261 in direzione OVEST-EST) risultano inferiori.

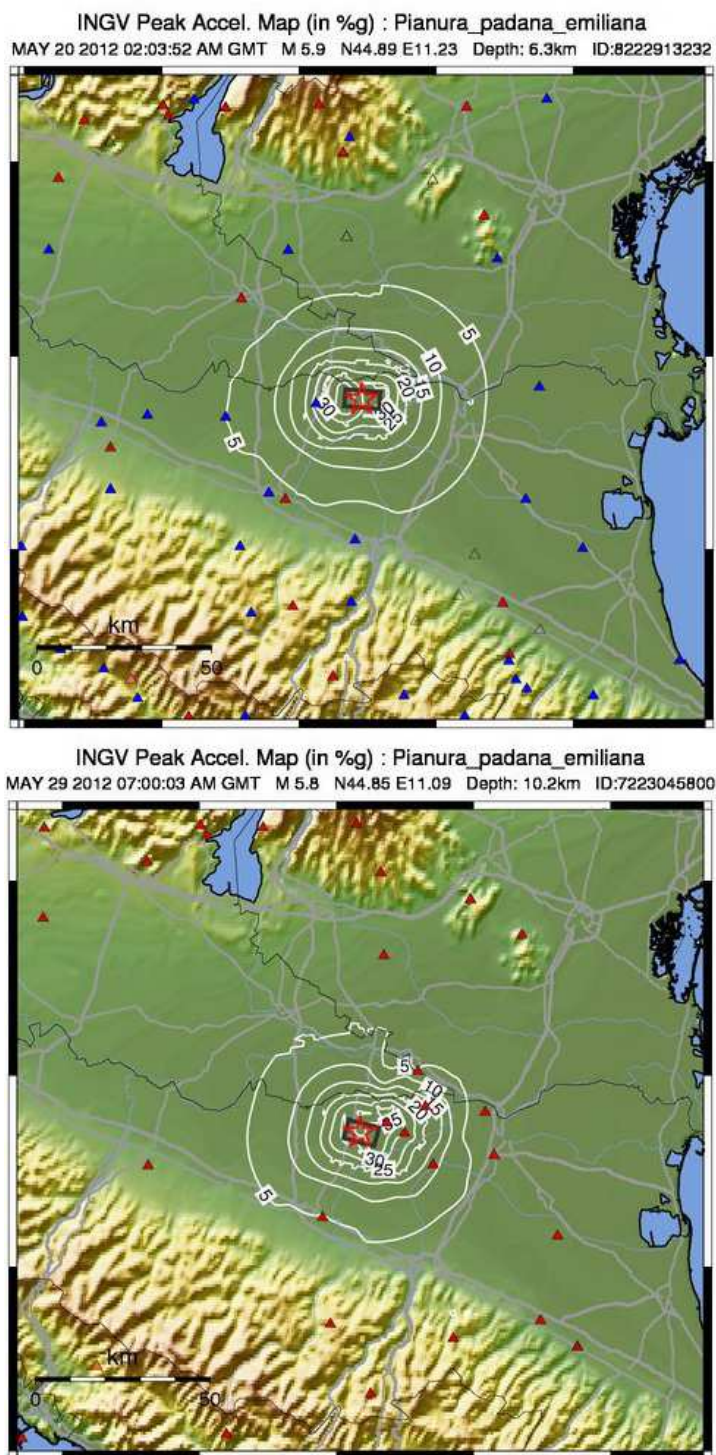



Fig. 7 – Mappe di accelerazione massima stimata al suolo (in % g) per i sismi del 20 e 29 maggio 2012

| | | | |
|---|------------------------|--------------|----------|
|  <p>Studio di geologia dott. Stefano Castagnetti</p> | Elaborato | Data | Pag. |
| | Relazione illustrativa | Ottobre 2015 | 13 di 48 |

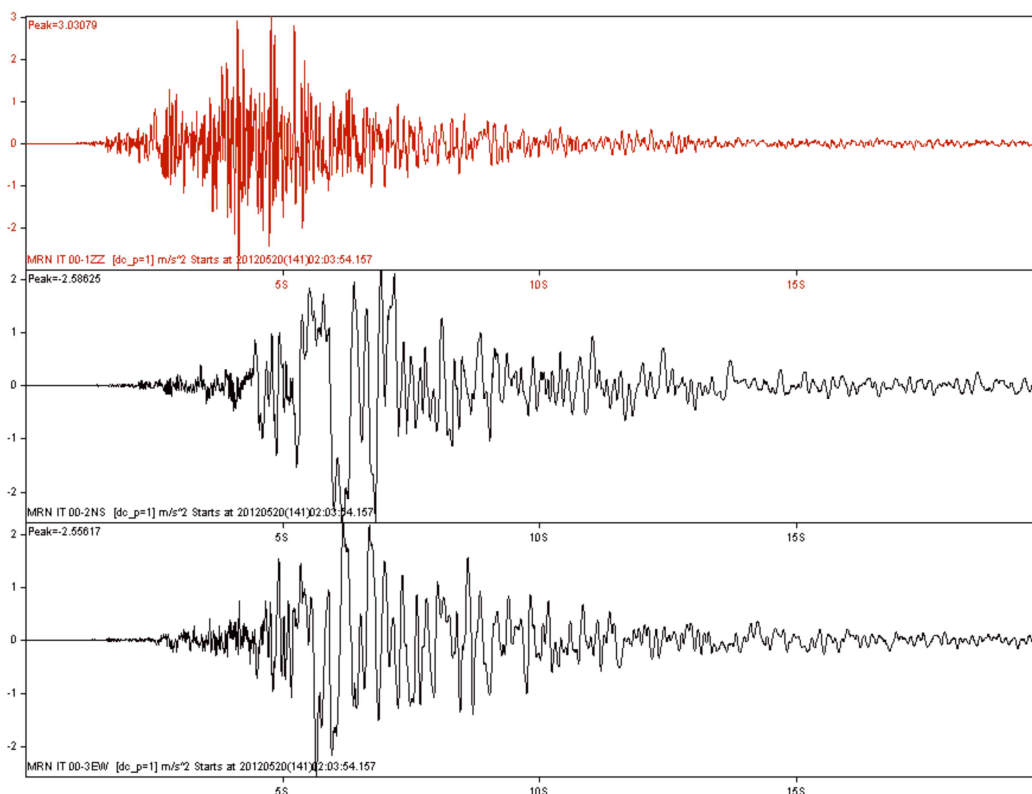


Fig. 8 - Sisma del 20/5/2012. Accelerogramma delle componenti (dall'alto in basso) Verticale, Nord-Sud ed Est-Ovest (acc. m/s², tempo s) registrate dalla stazione di Mirandola della Rete Accelerometrica Nazionale (www.protezionecivile.gov.it)


La sequenza sismica ha prodotto gravi danni in una vasta area delle province di Modena, Ferrara, Mantova e Bologna. In particolare appaiono gravemente danneggiate, in prossimità delle aree epicentrali, le strutture storiche in laterizio pieno ed i capannoni industriali prefabbricati in c.a.

2.4 Classificazione sismica comunale

La classificazione sismica dei comuni su tutto il territorio nazionale è stata stabilita dall'Allegato 1, punto 3 dell'Ordinanza n. 3274 del 20 marzo 2003, utilizzando e aggiornando la precedente proposta nel 1998.

La suddivisione è articolata in 4 zone: le prime 3 corrispondono alle zone di sismicità alta (S=12), media (S=9) e bassa (S=6), contemplati nella Legge 64/74, mentre la zona 4 è di nuova introduzione.

Ciascuna zona è contraddistinta da un diverso valore dell'accelerazione di picco orizzontale del suolo (ag) con probabilità di superamento del 10% in 50 anni (Tab. 2), eliminando di fatto la presenza di aree del territorio classificate come non sismiche: in questo modo, ad ogni area del territorio nazionale viene attribuito un differente livello di pericolosità sismica.

| | | | |
|---|------------------------|--------------|----------|
|  <p>Studio di geologia dott. Stefano Castagnetti</p> | Elaborato | Data | Pag. |
| | Relazione illustrativa | Ottobre 2015 | 14 di 48 |

| Zona | Valori massimi di a_g |
|----------|------------------------------------|
| 1 | $>0,25$ |
| 2 | $0,15 \div 0,25$ |
| 3 | $0,05 \div 0,15$ |
| 4 | $<0,05$ |

Tab. 2 – Valori di accelerazione orizzontale associati a ciascuna zona sismica

La classificazione vigente, identifica il Comune di Castelnuovo Rangone in zona 3 (Fig. 9), cui corrispondono valori di accelerazione di picco orizzontale del suolo (a_g), con probabilità di superamento pari al 10% in 50 anni, compresi tra $0,05 \cdot g$ e $0,15 \cdot g$ (dove g è l'accelerazione di gravità).

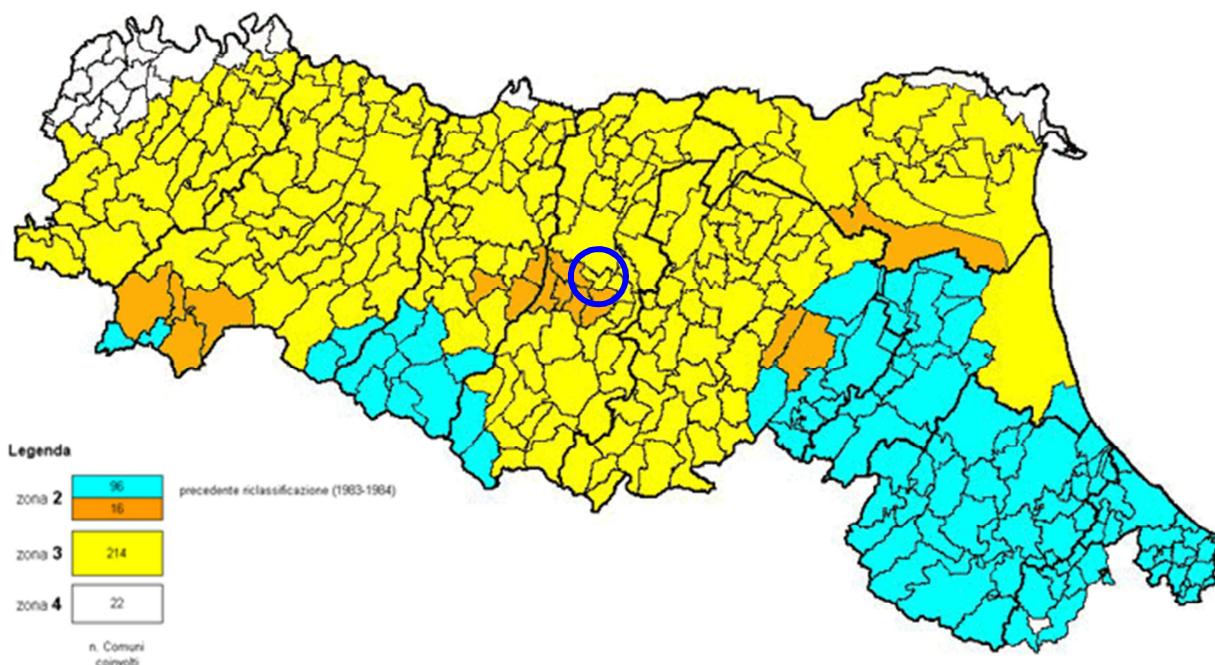


Fig. 9 – Nuova classificazione sismica regionale dei Comuni dell'Emilia Romagna. Il cerchio blu individua il territorio del Comune di Castelnuovo Rangone.

Successivamente, con l'Ordinanza n° 3519 del 28 aprile 2006 sono stati approvati i criteri generali e la mappa di pericolosità sismica di riferimento a scala nazionale, riportata nell'allegato 1b dell'Ordinanza stessa e la normativa tecnica associata alla nuova classificazione sismica, ovvero, il D.M. 14 gennaio 2008 "Approvazione delle nuove Norme Tecniche per le costruzioni", pubblicato sulla G. U. n. 29 del 4 febbraio 2008, che sostituisce il precedente D.M. 14.9.2005.

Alle NTC 2008 è allegato un documento sulla pericolosità sismica (Allegato A), in quanto l'azione sismica sulle costruzioni è valutata a partire dalla pericolosità sismica di base, più

semplicemente chiamata pericolosità sismica che costituisce l'elemento di conoscenza primario per la determinazione delle azioni sismiche.

In base a quanto disposto nel sopraccitato Allegato A, l'accelerazione sismica massima del terreno (a_g) è definita in corrispondenza dei punti di un reticolo, i cui nodi non distano fra loro più di 10 km, per diverse probabilità di superamento in 50 anni e per diversi periodi di ritorno (variabili tra 30 e 2475 anni).

Se il sito in esame non ricade nei nodi del reticolo di riferimento, il valore del parametro a_g può essere ricavato come media pesata dei valori assunti nei quattro vertici della maglia elementare del reticolo di riferimento contenente il punto in esame, utilizzando come pesi gli inversi delle distanze tra il punto in questione ed i quattro vertici.


Con l'obiettivo di ridurre il rischio sismico in adempimento agli obblighi della normativa nazionale, la Regione Emilia-Romagna, con Deliberazione dell'Assemblea legislativa n. 112 del 2 maggio 2007, ha approvato l'atto di indirizzo e coordinamento tecnico ai sensi dell'art. 16, comma 1, della L.R. 20/2000 "Disciplina generale sulla tutela e l'uso del territorio", in merito a "Indirizzi per gli studi di microzonazione sismica in Emilia-Romagna per la pianificazione territoriale e urbanistica".

Scopo di tale documento è quello di fornire i criteri per la per l'individuazione delle aree soggette ad effetti locali e per la microzonazione sismica del territorio in modo da orientare le scelte della pianificazione verso aree caratterizzate da minore pericolosità sismica.

In esso si afferma che la componente pericolosità del rischio sismico dipende sia dalle caratteristiche sismiche dell'area, cioè dalle sorgenti sismiche, dall'energia, dal tipo e dalla frequenza dei terremoti (aspetti comunemente indicati come "pericolosità sismica di base") sia dalle caratteristiche geologiche e morfologiche del territorio, in quanto alcuni depositi e forme del paesaggio possono modificare le caratteristiche del moto sismico in superficie e costituire aspetti predisponenti al verificarsi di effetti locali quali fenomeni di amplificazione o di instabilità dei terreni (aspetti comunemente indicati come "pericolosità sismica locale").

Conseguentemente gli studi della pericolosità sismica hanno come obiettivo:

- l'individuazione delle aree dove in occasione dei terremoti attesi possono verificarsi effetti locali;
- la stima quantitativa della risposta sismica locale dei depositi e delle morfologie presenti nell'area di indagine o "Analisi della Risposta Sismica Locale" (RSL);

| | | | |
|---|------------------------|--------------|----------|
|  Studio di geologia dott. Stefano Castagnetti | Elaborato | Data | Pag. |
| | Relazione illustrativa | Ottobre 2015 | 16 di 48 |


- la suddivisione del territorio in sottozone a diversa pericolosità sismica locale o “Microzonazione Sismica” (MZ).

Detti studi vanno condotti a diversi livelli di approfondimento a seconda delle finalità e delle applicazioni nonché degli scenari di pericolosità locale.

La prima fase è diretta a definire gli scenari di pericolosità sismica locale, cioè ad identificare le parti di territorio suscettibili di effetti locali (amplificazione del segnale sismico, cedimenti, instabilità dei versanti, fenomeni di liquefazione, rotture del terreno, ecc.).

L'individuazione delle aree soggette ad effetti locali si basa su rilievi, osservazioni e valutazioni di tipo geologico e geomorfologico, svolte a scala territoriale, associati a raccolte di informazioni sugli effetti indotti dai terremoti passati. Tale analisi viene svolta - soprattutto mediante elaborazione dei dati disponibili - in sede di elaborazione del PTCP e del PSC e concorre alla definizione delle scelte di piano, fornendo prime indicazioni sui limiti e le condizioni per la pianificazione nelle suddette aree.

La seconda fase ha come obiettivo la microzonazione sismica del territorio indagato.

| | | | |
|---|------------------------|--------------|----------|
|  Studio di geologia <i>dott. Stefano Castagnetti</i> | Elaborato | Data | Pag. |
| | Relazione illustrativa | Ottobre 2015 | 17 di 48 |

3. Dati geotecnici e geofisici

La ricerca effettuata presso l'archivio dell'Ufficio Tecnico Comunale ha consentito di esaminare numerose relazioni geologiche, prodotte a corredo di progetti edilizi e di opere pubbliche e di acquisire copia delle indagini geognostiche eseguite.

Tutte le indagini sono state trasformate in formato digitale con modalità georiferita, al fine di consentirne l'elaborazione in ambiente GIS. A tal proposito sia i dati di base, che i dati elaborati sono stati organizzati in formato vettoriale (*shapefile*).

Nel presente lavoro sono state inserite le indagini eseguite a supporto dello studio effettuato nel 2009 e consistenti in prospezioni sismiche e misure di ascolto dei microtremori naturali, queste ultime eseguite da personale del CNR di Milano.

Tali indagini, unitamente alle informazioni presenti in letteratura e ai sopralluoghi in sito, hanno permesso di ricostruire il modello geologico delle aree interessate dallo studio di microzonazione sismica.

Ad integrazione dei dati esistenti è stata progettata ed eseguita una specifica campagna di indagine. Più in particolare sono state effettuate n° 23 indagini di sismica passiva mediante misure di ascolto delle vibrazioni ambientali secondo la tecnica HVSr a stazione singola.

Le misure HVSr sono state condotte utilizzando un sismometro a stazione singola (tromografo digitale MICROMED Tromino) di proprietà dello scrivente soggetto attuatore, in grado di registrare, attraverso dei velocimetri, i microtremori lungo le due direzioni orizzontali (X, Y) e lungo quella verticale (Z), di un ampio intervallo di frequenze (0.1-100 Hz) e per una durata sufficientemente lunga (16 minuti).

Le misure registrate sono state poi elaborate e restituite graficamente in forma di spettri H/V (rapporto H/V in funzione della frequenza) e spettri delle singole componenti (componente del moto in funzione della frequenza per ognuna delle tre direzioni).

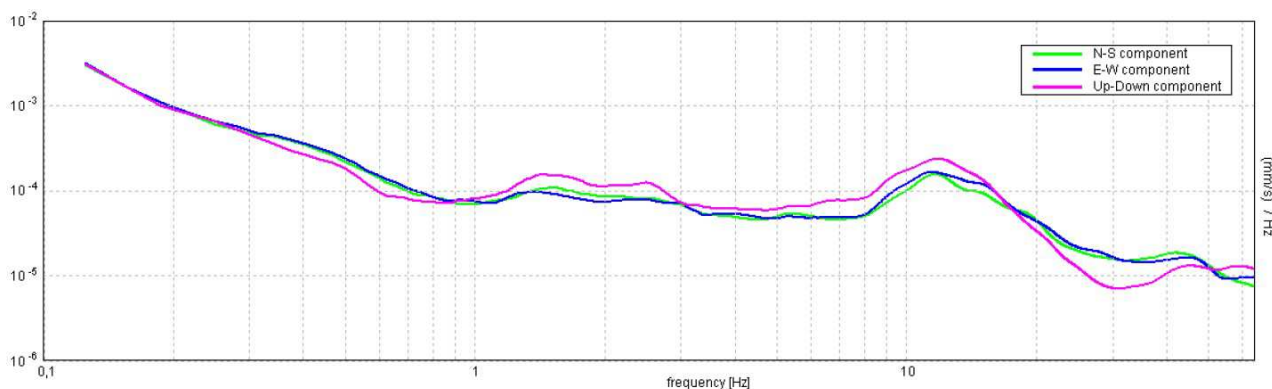



Fig. 10 – Esempio di spettro delle singole componenti

| | | | |
|---|------------------------|--------------|----------|
|  <p>Studio di geologia dott. Stefano Castagnetti</p> | Elaborato | Data | Pag. |
| | Relazione illustrativa | Ottobre 2015 | 18 di 48 |

4. Modello del sottosuolo

La base per uno studio di microzonazione sismica è la definizione, quanto più accurata possibile, del modello geologico del sottosuolo, cercando di individuare come varia la successione stratigrafica all'interno delle aree in esame e a che profondità si possa trovare il substrato rigido.

A tale scopo, per il Comune di Castelnuovo Rangone, sono stati esaminati e confrontati tra loro tutti i dati geognostici raccolti oltre a differenti cartografie tematiche, con scale di diverso grado di dettaglio.

Rimandando al paragrafo 7.4 la descrizione specifica delle caratteristiche delle porzioni di territorio comunale oggetto del presente studio, di seguito, ci si limita a proporre alcune considerazioni su come il complesso assetto geologico rilevato possa modificare il moto sismico in superficie e quali problematiche comporti per la determinazione degli effetti locali.


Nel complesso la fascia di alta pianura in cui ricade il territorio in esame, è caratterizzata a Est e ad Ovest dai depositi delle conoidi dei due corsi d'acqua maggiori, Secchia e Panaro, che si protendono verso la pianura sino circa all'altezza della Via Emilia.

Le porzioni più recenti di queste conoidi, quelle tra il Neolitico e il XX Secolo, si presentano asimmetriche rispetto ai corsi attuali, occupando una posizione spostata verso occidente, più accentuata per il F. Panaro, indicante una costante loro migrazione da est verso ovest.

Dal punto di vista litologico le conoidi maggiori hanno composizione prevalentemente ghiaiosa nelle aree apicali, che si estendono qualche chilometro a valle rispettivamente di Sassuolo e Vignola, e di corpi ghiaiosi alternati a peliti via via più potenti e frequenti allontanandosi dall'apice; la transizione ai sedimenti fini dell'antistante piana alluvionale, avviene quindi in modo graduale.

Tra i due apparati maggiori e occupanti un'area meno profonda, sono presenti le conoidi dei corsi d'acqua minori (T. Tiepido, T. Guerro e altri torrenti più piccoli) che caratterizzano il territorio di Castelnuovo Rangone.


Si tratta di apparati che si congiungono tra loro formando conoidi composite, in cui la litologia è prevalentemente fine, sabbioso-limosa con piccoli corpi ghiaiosi che, sotto forma di strette fasce potenti qualche metro, si dipartono dalle zone apicali dei singoli apparati. Le aree apicali di queste conoidi minori sono limitate a una zona ampia meno di un chilometro dallo sbocco dei torrenti in pianura.

| | | | |
|---|------------------------|--------------|----------|
|  Studio di geologia dott. Stefano Castagnetti | Elaborato | Data | Pag. |
| | Relazione illustrativa | Ottobre 2015 | 19 di 48 |

A riguardo, va considerato che i depositi presenti nel sottosuolo del territorio comunale di Castelnuovo Rangone, sia appartenenti al Supersistema Emiliano-Romagnolo che alle sottostanti unità del Supersistema Quaternario Marino, presentano una significativa variabilità sia di tessitura, che dello stato di addensamento.

Ne consegue che significative variazioni possono manifestarsi anche nei profili delle Vs che, di norma, risultano maggiori all'aumentare della densità e della dimensione dei granuli, mentre, ad una diminuzione di tessitura consegue un'inversione di velocità.

A fronte di tale assetto litostratimetrico, le indagini tomografiche effettuate tuttavia non hanno evidenziato nelle curve H/V picchi di ampiezza elevata, associabili a netti contrasti di impedenza.

| | | | |
|---|------------------------|--------------|----------|
|  Studio di geologia <i>dott. Stefano Castagnetti</i> | Elaborato | Data | Pag. |
| | Relazione illustrativa | Ottobre 2015 | 20 di 48 |

5. Interpretazioni e incertezze

Come già indicato, il presente studio, oltre ad utilizzare una grande quantità di dati pregressi, ha previsto l'esecuzione di una nuova campagna d'indagini sismiche.

La caratterizzazione dei terreni è stata effettuata tramite la tecnica sismica passiva (tecnica dei rapporti spettrali) o HVSR (*Horizontal to Vertical Spectral Ratio*).

Per ciascuna prova è stato riportato il grafico del rapporto spettrale H/V naturale, in cui si possono osservare gli eventuali picchi caratteristici, in corrispondenza di determinate frequenze (Fig. 11).

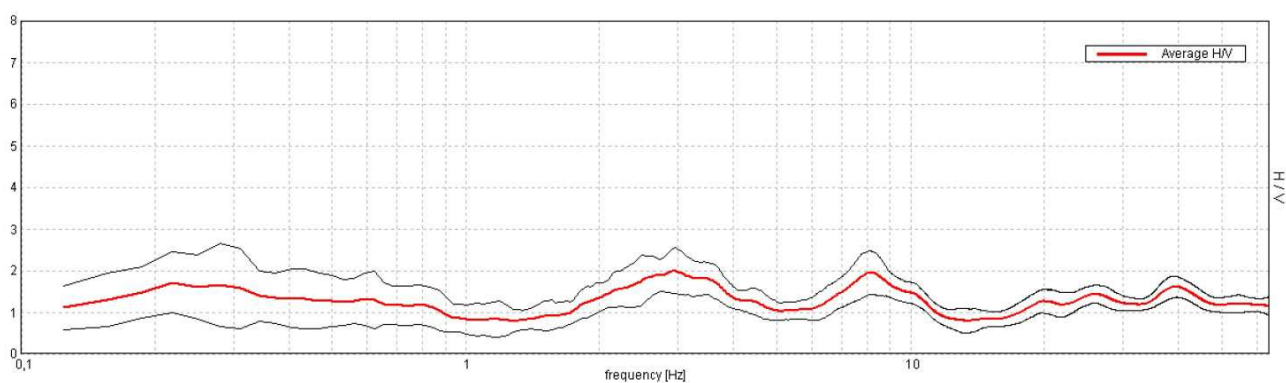



Fig. 11 – Esempio di curva H/V naturale della prova 036007P123HVSR123 eseguita nel settore E dell'abitato di Montale

Al fine di determinare la qualità delle singole misure HVSR effettuate e la loro relativa affidabilità, si è provveduto alla classificazione delle prove valutando, in accordo con i più recenti studi in materia, le caratteristiche dei fondamentali principi su cui si basa la tecnica di indagine a sismica passiva utilizzata.


Nello specifico si è proceduto all'analisi della durata complessiva delle singole registrazioni, utilizzando esclusivamente quelle capaci di produrre stime "robuste" del campo medio delle vibrazioni ambientali, soddisfacendo in tal senso i primi 3 criteri del progetto SESAME (linee guida 2005), relativi alla robustezza statistica del segnale. Inoltre, per ogni singola acquisizione è stato valutato l'andamento complessivo della curva H/V, prestando particolare attenzione, durante la fase di elaborazione, alla plausibilità fisica della curva stessa, verificabile attraverso l'individuazione di massimi caratterizzati da una diminuzione localizzata di ampiezza dello spettro verticale.

| | | | |
|---|------------------------|--------------|----------|
|  Studio di geologia dott. Stefano Castagnetti | Elaborato | Data | Pag. |
| | Relazione illustrativa | Ottobre 2015 | 21 di 48 |

In fase di elaborazione, sfruttando le possibilità di analisi direzionale e temporale del software utilizzato (GRILLA® – Micromed), è stata valutata la stazionarietà temporale dei rapporti spettrali misurati, prestando inoltre particolare attenzione alle variazioni azimuthali di ampiezza, nel rispetto della condizione di isotropia del segnale

Quanto ai criteri delle linee guida SESAME 2005 relativi alla “chiarezza” del picco di possibile risonanza, in alcuni casi non risultano soddisfatti per i motivi già anticipati nel capitolo 4 (le caratteristiche geologiche del territorio esaminato fanno sì che spesso, nelle curve H/V, non siano presenti picchi significativi).

Inoltre l’analisi dei profili di velocità derivanti da indagini sismiche MASW o Re.MI. di archivio, in cui sono talvolta evidenti netti contrasti di impedenza, spesso non hanno trovato un riscontro nelle curva H/V delle misure di microtremore a stazione singola effettuate appositamente per lo studio di microzonazione.

| | | | |
|---|------------------------|--------------|----------|
|  Studio di geologia <i>dott. Stefano Castagnetti</i> | Elaborato | Data | Pag. |
| | Relazione illustrativa | Ottobre 2015 | 22 di 48 |

6. Metodologie di elaborazione e risultati

Nella prima fase di lavoro, relativamente agli areali da sottoporre allo studio di Microzonazione Sismica, ovvero l'intero territorio urbanizzato ed urbanizzabile ed il corridoio infrastrutturale della strada Pedemontana, sono stati acquisiti dati bibliografici e di archivio, sono stati condotti rilievi sul territorio ed è stata analizzata la cartografia geologica e geomorfologica disponibile .


Successivamente è stata eseguita una campagna di indagini di sismica, ai fini della definizione delle frequenze fondamentali dei terreni.

Gli elaborati prodotti in questa prima fase sono costituiti da:

- **Carta delle indagini:** in tale cartografia sono riportate le indagini pregresse e quelle di nuova esecuzione; tutte le prove sono state classificate in base alla tipologia;
- **Carta geologico-tecnica:** tale carta è stata derivata dalla revisione a scala dettagliata dei rilievi disponibili. In questa cartografia sono rappresentati gli elementi geologici e morfologici che possono modificare il moto sismico in superficie;
- **Carta delle frequenze naturali dei terreni:** tale carta riporta i punti di misura e i risultati di indagini di sismica passiva (misure HVSR); in particolare, sono stati indicati il valore F_0 del picco significativo, corrispondente alla frequenza di risonanza fondamentale (frequenza principale) e, quando presente, di un secondo picco significativo (frequenza secondaria), meno evidente del primo (F_1). In entrambi i casi sono stati presi in considerazione solo i picchi ricadenti nell'intervallo di frequenza 0,1÷20Hz;
- **Carta delle microzone omogenee in prospettiva sismica:** in questa cartografia sono indicate le aree in cui si ritiene necessario effettuare indagini e analisi di microzonazione sismica e i livelli di approfondimento ritenuti necessari, distinguendo tra zone suscettibili di instabilità, se presenti ove sono richiesti approfondimenti di terzo livello, e zone suscettibili di amplificazioni locali, oggetto di approfondimenti di secondo livello, all'interno delle vengono operate ulteriori distinzioni, identificando delle microzone omogenee, sulla base delle caratteristiche litostratigrafiche.


Successivamente e in diretta continuità con la prima, è stata svolta la seconda fase di lavoro, che ha quale obiettivo la Microzonazione Sismica del territorio indagato.

In questa fase sono stati prodotti i seguenti elaborati:

| | | | |
|---|------------------------|--------------|----------|
|  Studio di geologia dott. Stefano Castagnetti | Elaborato | Data | Pag. |
| | Relazione illustrativa | Ottobre 2015 | 23 di 48 |

- **Carta delle velocità delle onde di taglio S:** carte in sono ubicati tutti i punti di misura di V_s con indicazione, per ogni punto misura, del valore di V_{s30} .
- **Carte di microzonazione sismica – Livello 2:** si tratta di carte in cui sono raffigurate le amplificazioni stimate, tramite procedure semplificate, per i vari settori di territorio in esame. L'amplificazione è stata quantificata sia in termini di rapporto di accelerazione massima orizzontale (PGA/PGA_0), sia di rapporto di Intensità di Housner (SI/SI_0), per prefissati intervalli di periodi (0,1-0,5s e 0,5 – 1s). Per la definizione dell'amplificazione sono state utilizzate e tabelle e le formule indicate nell'All. 2 degli Indirizzi regionali.

L'estensione e la forma del territorio comunale ha reso possibile la restituzione dei tematismi in un'unica rappresentazione cartografica alla scala 1:10.000.

| | | | |
|---|------------------------|--------------|----------|
|  Studio di geologia <i>dott. Stefano Castagnetti</i> | Elaborato | Data | Pag. |
| | Relazione illustrativa | Ottobre 2015 | 24 di 48 |

7. Elaborati cartografici

7.1 Carta delle indagini

Nella Carta delle indagini, alla scala 1:10.000, sono state riportate le ubicazioni delle prove di nuova esecuzione e dei dati pregressi, relativi a indagini geognostiche e/o geofisiche a corredo di pratiche edilizie depositate presso l'Ufficio Tecnico Comunale, oltre a quelle contenute nel database fornito dal Servizio Geologico Regionale.

Esse sono state distinte in base alla tipologia (Fig. 12).



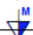
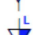



| | |
|---|---|
|  | Sondaggio a carotaggio continuo |
|  | Sondaggio da cui sono stati prelevati campioni |
|  | Sondaggio a distruzione di nucleo |
|  | Sondaggio con piezometro |
|  | Prova penetrometrica statica con punta meccanica (CPT) |
|  | Prova penetrometrica statica con punta elettrica (CPTE) |
|  | Prova penetrometrica statica con piezocono (CPTU) |
|  | Prova penetrometrica dinamica super pesante (DS) |
|  | Prova penetrometrica dinamica pesante (DP) |
|  | Prova penetrometrica dinamica media (DM) |
|  | Prova penetrometrica dinamica leggera (DL) |
|  | Pozzo per acqua |
|  | Pozzo per idrocarburi |
|  | Prova di carico con piastra |
|  | Stazione microtremore a stazione singola (HVSr) |
|  | Prova sismica in foro tipo Downhole |
|  | MASW |
|  | Prova REfraction Microtremors |
|  | Profilo sismico a rifrazione |
|  | Tomografia elettrica |

Fig. 22 – Legenda della Carta delle indagini

Nella carta sono indicate anche alcune indagini esterne ai perimetri del territorio urbanizzato e urbanizzabile, ove sono state concentrate le analisi, ma ugualmente utili a definire le sue caratteristiche litostratigrafiche.

La ricerca effettuata presso l'archivio dell'Ufficio Tecnico Comunale ha consentito di acquisire le seguenti indagini:

| | | | |
|---|------------------------|--------------|----------|
|  <p>Studio di geologia dott. Stefano Castagnetti</p> | Elaborato | Data | Pag. |
| | Relazione illustrativa | Ottobre 2015 | 25 di 48 |

- n° 4 sondaggi a carotaggio continuo
- n° 74 prove penetrometriche statiche con punta meccanica (CPT)
- n° 26 prove penetrometriche dinamiche pesanti e superpesanti (DP - DPSH)
- n° 3 prove penetrometriche dinamiche leggere e medio-pesanti (DL - DM)
- n° 8 MASW
- n° 9 prove REfraction Microtremors
- n° 12 Stazioni microtremore a stazione singola (HVSr)
- n° 1 profili sismici a riflessione

Come ricordato in precedenza, ad integrazione di tali dati, è stata progettata ed eseguita una specifica campagna di indagine costituita da n° 23 misure di ascolto di microtremori a stazione singola (HVSr), eseguite internamente o al contorno del perimetro del territorio urbanizzato e urbanizzabile.


7.2 Carta geologico-tecnica

Nella Carta geologico-tecnica sono state riportate le informazioni di base (geologia, geomorfologia, caratteristiche litotecniche, geotecniche e idrogeologiche) derivate da elaborati esistenti e da indagini geognostiche pregresse.

Questi dati hanno consentito di definire il modello di sottosuolo e sono risultate funzionali alla realizzazione delle Carte delle microzone omogenee in prospettiva sismica (Livello 1), che saranno descritte nel successivo paragrafo 7.4.


Nel presente studio, per la stesura della Carta geologico tecnica, si è fatto riferimento, in particolare, alla seguente documentazione, opportunamente verificata mediante sopralluoghi di campagna:

- elaborati del Quadro Conoscitivo del redigendo Piano Strutturale Intercomunale dell'Unione Terre di Castelli;
- "Carta Geologica d'Italia" alla scala 1: 50.000, Fogli 219 "Sassuolo" realizzato secondo le normative del Progetto CARG;

| | | | |
|---|------------------------|--------------|----------|
|  Studio di geologia dott. Stefano Castagnetti | Elaborato | Data | Pag. |
| | Relazione illustrativa | Ottobre 2015 | 26 di 48 |

- Carta Geologica di Pianura dell'Emilia-Romagna, alla scala 1:250.000, realizzata dalla Servizio Geologico, Sismico e dei Suoli Regione della Emilia-Romagna;
- indagini puntuali, per la descrizione delle quali si rimanda al precedente paragrafo (7.1).

Allo scopo di migliorare la comprensione del modello geologico locale nelle Figure 14 – 17, sono proposte delle sezioni geologiche orientate sia trasversalmente che longitudinalmente ai principali elementi strutturali (cfr. rappresentazione planimetrica delle tracce riportata in Fig. 13 scaricate dal sito del Servizio Geologico, Sismico e dei Suoli della Regione Emilia-Romagna).

| | | | |
|---|------------------------|--------------|----------|
|  Studio di geologia dott. Stefano Castagnetti | Elaborato | Data | Pag. |
| | Relazione illustrativa | Ottobre 2015 | 27 di 48 |

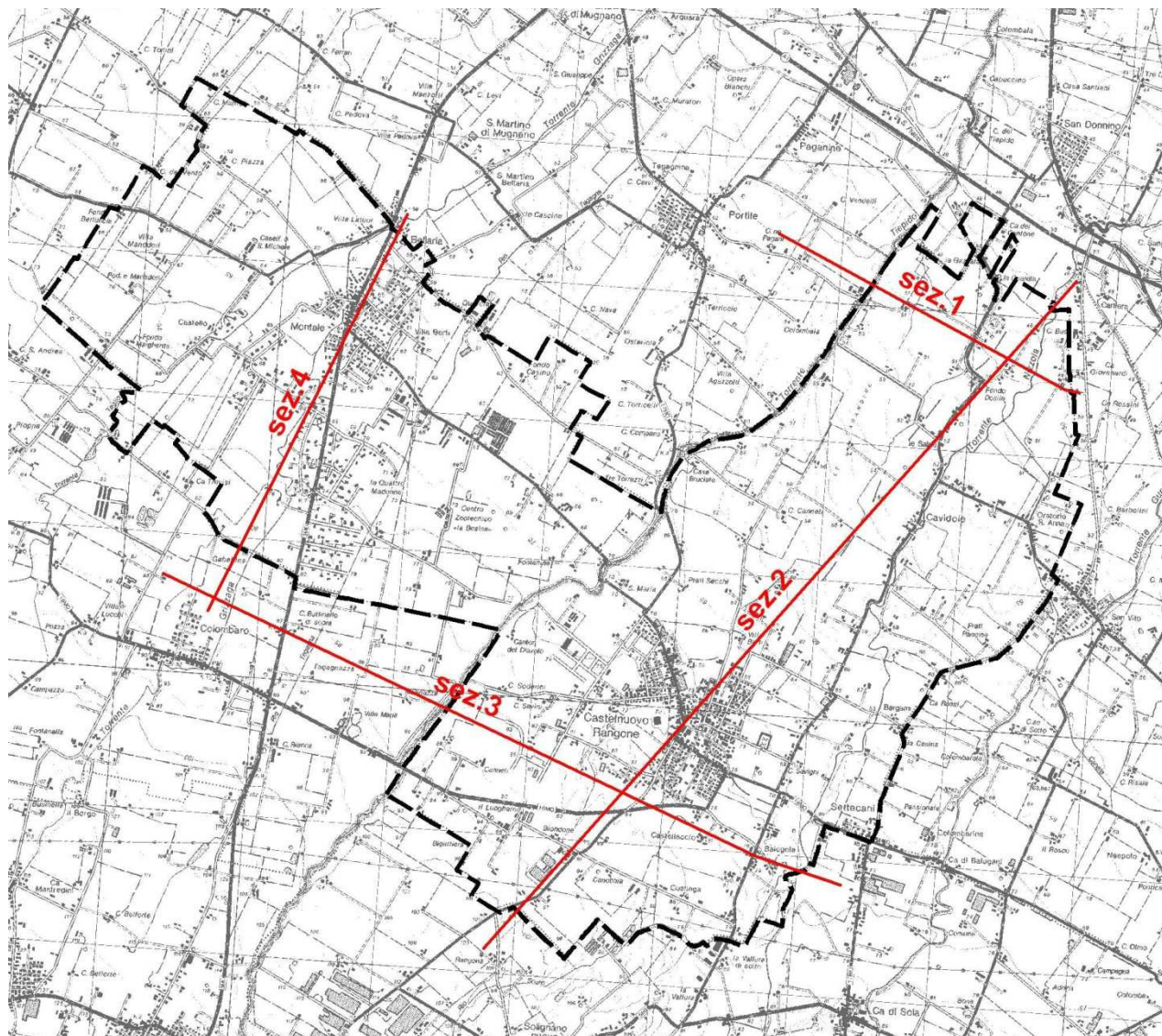


Fig. 33 – Rappresentazione planimetrica delle tracce delle sezioni

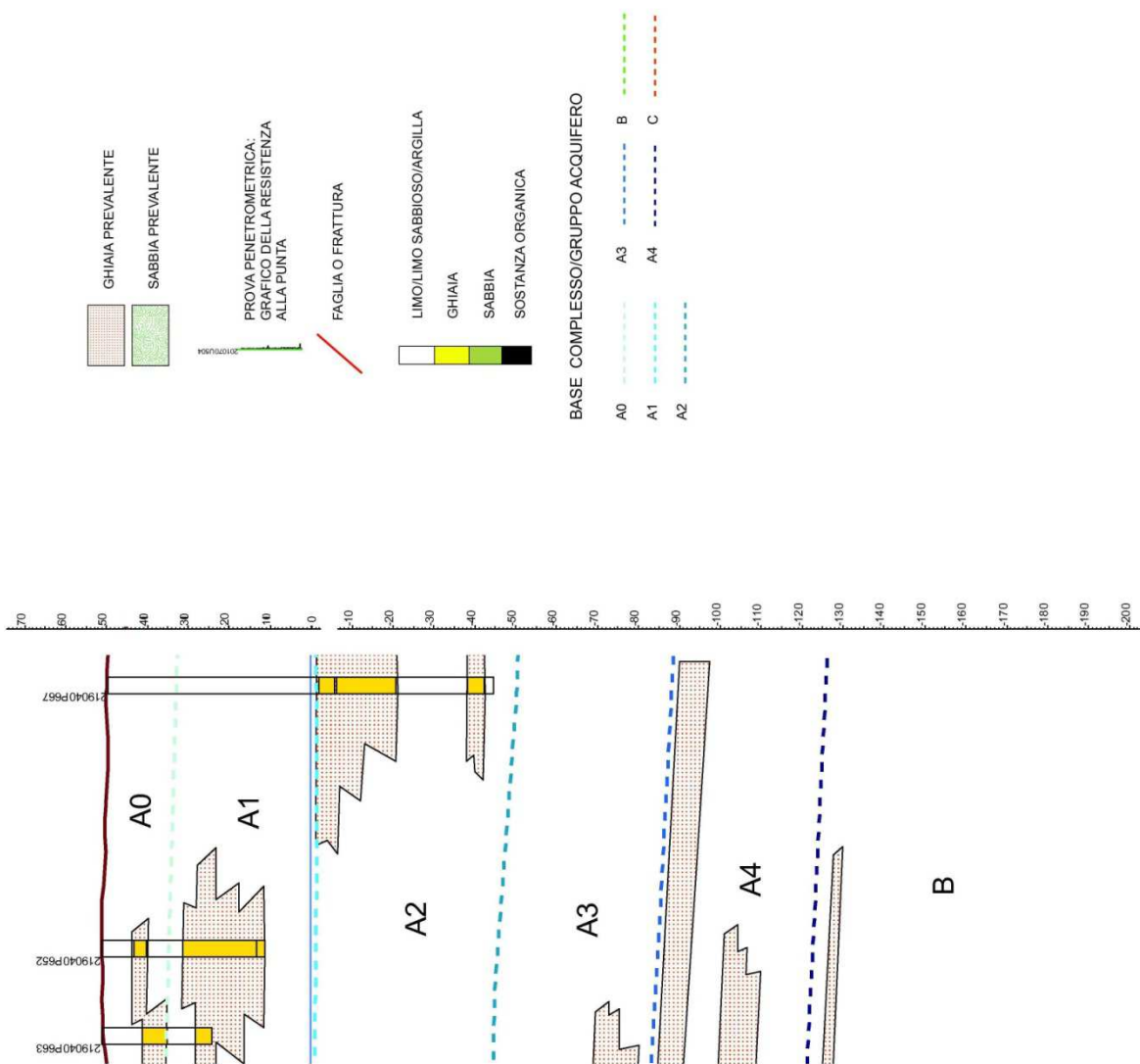



Fig. 14 – Sezione n.1 (Fonte: Sezione Geologica n. 104 “Servizio Geologico Sismico e dei Suoli della Regione Emilia-Romagna”)

| | | | |
|---|------------------------|--------------|----------|
|  <p>Studio di geologia dott. Stefano Castagnetti</p> | Elaborato | Data | Pag. |
| | Relazione illustrativa | Ottobre 2015 | 29 di 48 |

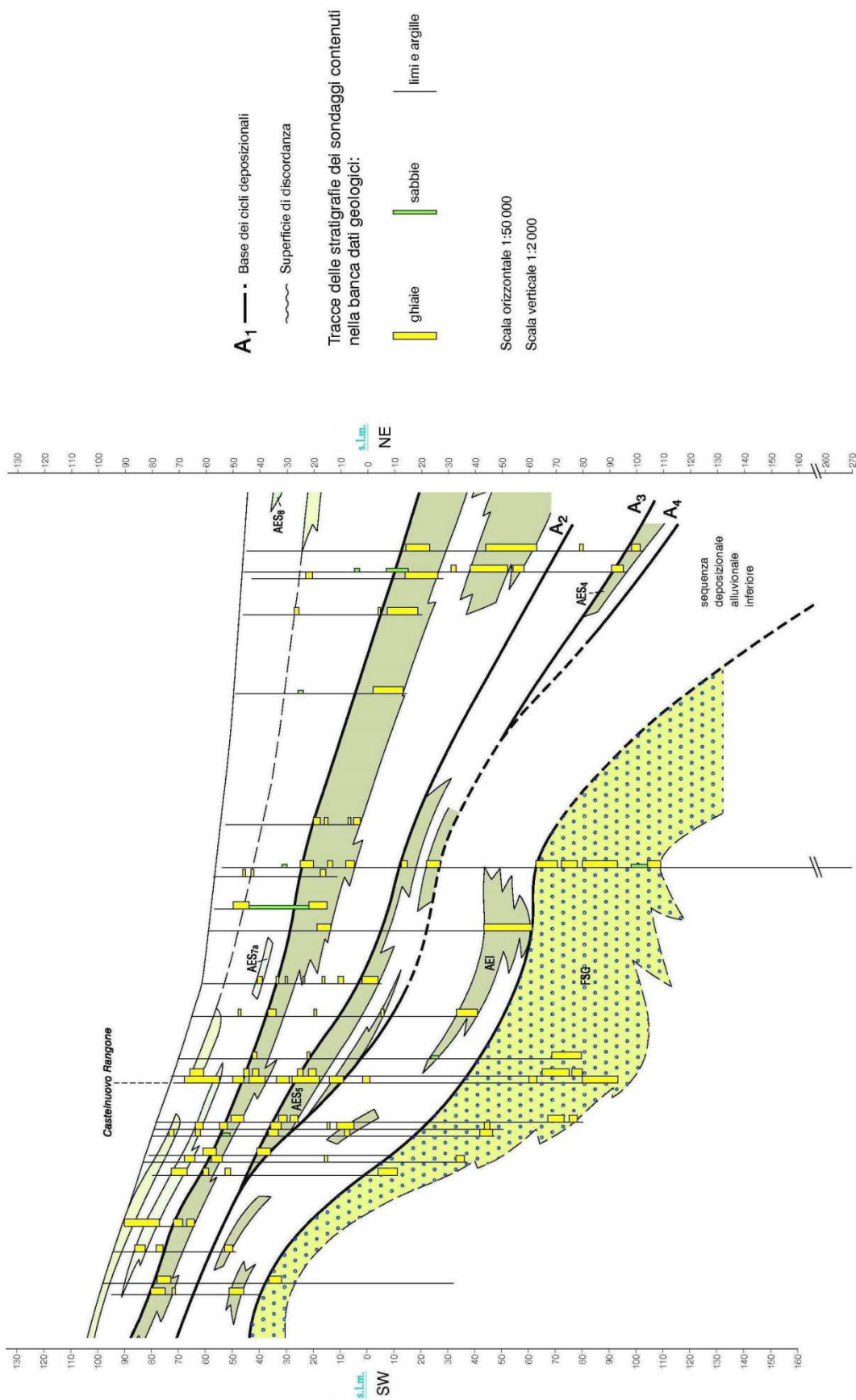



Fig. 15 – Sezione n.2 (Fonte: Sezione Geologica n. 9 “Servizio Geologico Sismico e dei Suoli della Regione Emilia-Romagna”)

| | | | |
|---|------------------------|--------------|----------|
|  <p>Studio di geologia dott. Stefano Castagnetti</p> | Elaborato | Data | Pag. |
| | Relazione illustrativa | Ottobre 2015 | 30 di 48 |

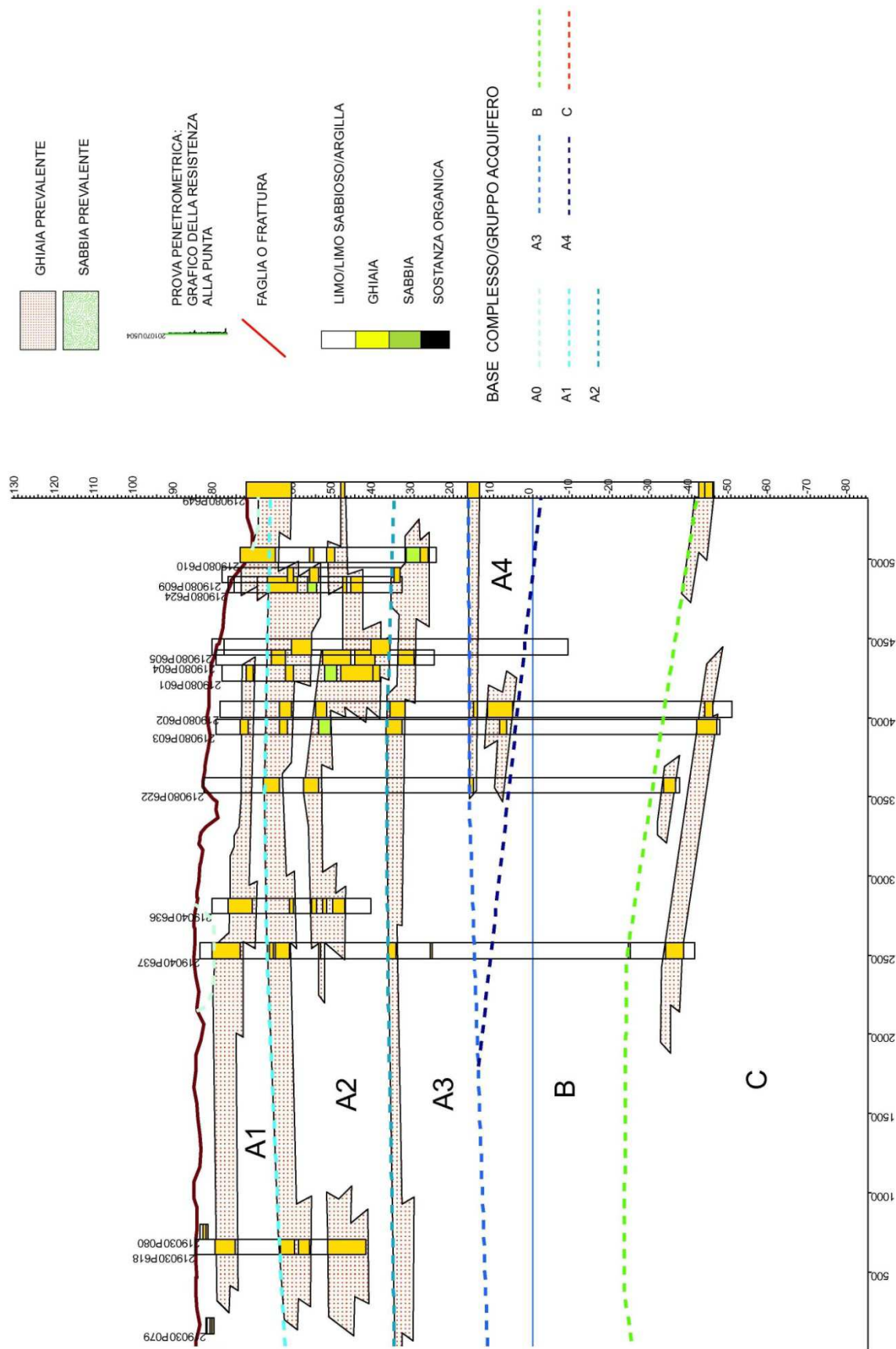



Fig. 16 – Sezione n.3 (Fonte: Sezione Geologica n. 103 "Servizio Geologico Sismico e dei Suoli della Regione Emilia-Romagna")

| | | | |
|---|------------------------|--------------|----------|
|  <p>Studio di geologia dott. Stefano Castagnetti</p> | Elaborato | Data | Pag. |
| | Relazione illustrativa | Ottobre 2015 | 31 di 48 |

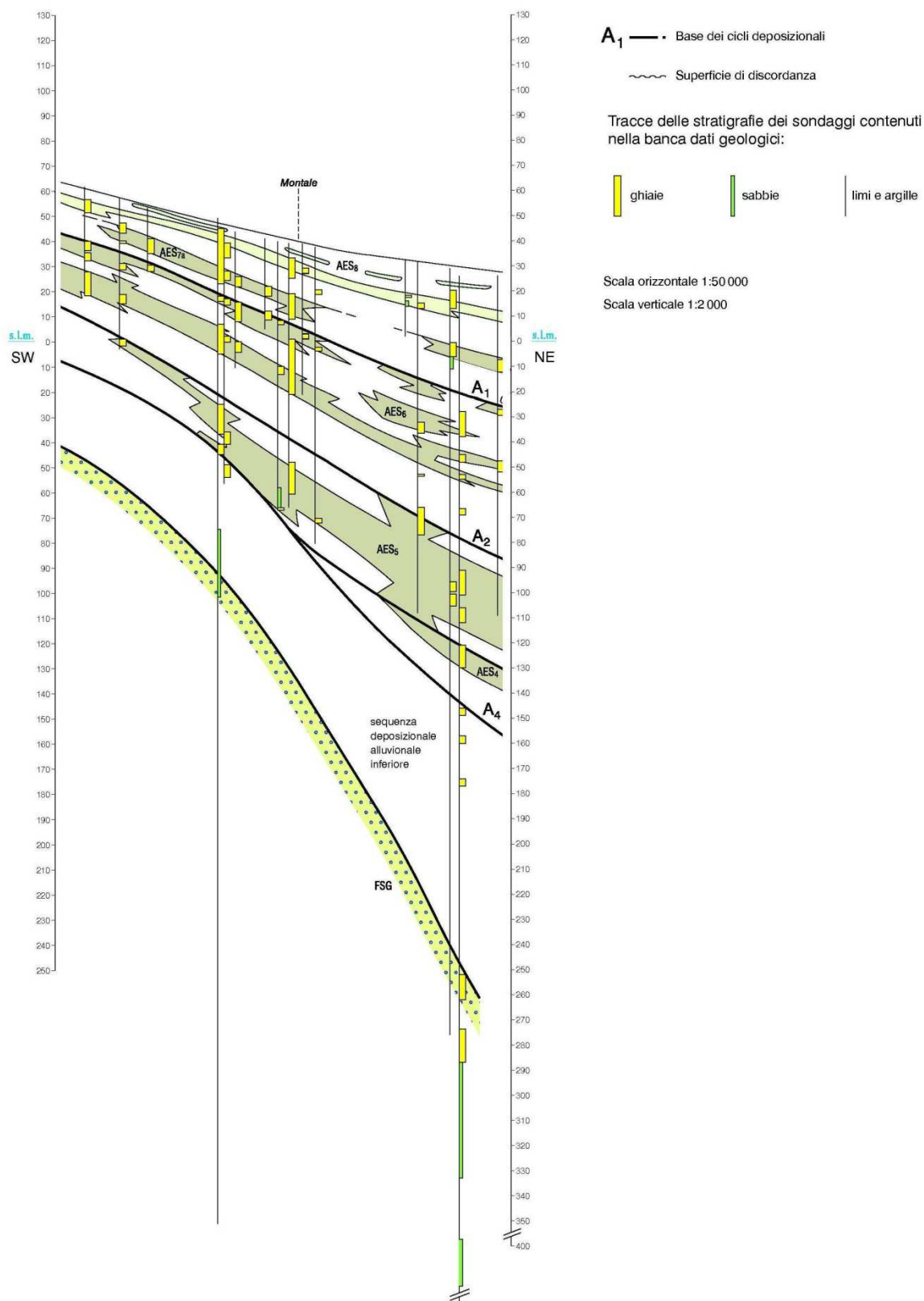




Fig. 17 – Sezione n° 4 (Fonte: Sezione Geologica n° 8 “Servizio Geologico Sismico e dei Suoli della Regione Emilia-Romagna”)

| | | | |
|---|------------------------|--------------|----------|
|  <p>Studio di geologia dott. Stefano Castagnetti</p> | Elaborato | Data | Pag. |
| | Relazione illustrativa | Ottobre 2015 | 32 di 48 |

Dall'esame di tali sezioni si osserva che il sottosuolo del territorio comunale, in estrema sintesi, presenta le seguenti caratteristiche:

- La base del primo ciclo sedimentario (Sintema Emiliano-Romagnolo Superiore - AES) si approfondisce significativamente spostandosi verso nord, passando da quasi 30 m, a circa 120 m di profondità dal p.c.;
- Approfondimento ancora più elevato si ha per la base del secondo ciclo sedimentario (Sintema Emiliano-Romagnolo Inferiore - AEI) che, tra l'estremità meridionale e quella settentrionale del Comune, varia da 60 m ad oltre 200 m di profondità dal p.c.;
- Il diverso spessore dei depositi continentali, costituiti dall'AES e dall'AEI, appare legato alla differente subsidenza delle strutture profonde. Il settore NE del territorio comunale è infatti posto in corrispondenza di un'area strutturalmente depressa e di uno dei massimi spessori dei sedimenti marini plio-pleistocenici, mentre la fascia a sud di Castelnuovo Rangone è interessata da strutture positive scarsamente subsidenti, con una potenza ridotta di questi depositi continentali;
- Nel settore sud del territorio comunale i depositi quaternari continentali, appartenenti alle conoidi minori, sono costituiti da alternanze di livelli ghiaiosi con spessore inferiore a 10 metri e livelli limo-argillosi, mentre spostandosi verso nord i corpi costituiti da litologie grossolane tendono a ridursi di spessore, alternandosi a livelli sempre più potenti di argille e limi;
- Sotto il potente pacco di depositi alluvionali il substrato marino pleistocenico è sempre costituito dalla formazione delle Sabbie Gialle, costituite da depositi sabbiosi e sabbioso-ghiaiosi di ambiente costiero, che ricopre a sua volta la formazione delle Argille Azzurre;
- La sezione n. 2 (Fig. 15) evidenzia come la Formazione delle Sabbie Gialle tende ad immergersi gradualmente verso nord, sino a raggiungere la quota di -150 m s.l.m. all'altezza di S. Lorenzo. Le ghiaie appaiono relativamente scarse, nonostante la relativa vicinanza al F. Panaro, in quanto il fiume è attualmente spostato verso ovest rispetto ai suoi sedimenti sepolti. Ben evidente è la sequenza deposizionale alluvionale inferiore corrispondente ad AEI, costituita da sedimenti fini con intercalati corpi ghiaiosi legati al F. Panaro e forse anche al T. Tiepido.

| | | | |
|---|------------------------|--------------|----------|
|  Studio di geologia <i>dott. Stefano Castagnetti</i> | Elaborato | Data | Pag. |
| | Relazione illustrativa | Ottobre 2015 | 33 di 48 |

Considerato quanto sopradescritto, è facile comprendere come in un territorio quale quello del Comune di Castelnuovo Rangone non sia facile ipotizzare quale orizzonte possa rappresentare il substrato rigido.

Certamente più si va in profondità più si rinvengono depositi addensati con relativo aumento delle Vs; tuttavia è evidente che i profili di Vs, in ciascuna verticale, risentono fortemente anche del tipo di litologie attraversate, con significativi incrementi al passaggio tra un orizzonte fine ad uno prevalentemente ghiaioso, mentre ad una diminuzione di tessitura consegue un'inversione di velocità.

Le indagini, di norma, consentono di individuare la prima superficie di discontinuità, dove la copertura prevalentemente limoso-argillosa poggia sul livello granulare più superficiale; quanto alle discontinuità più profonde, si hanno informazioni molto meno attendibili.


Inoltre, trattandosi sempre di terreni sciolti, risulta complicato associare delle velocità delle onde di taglio ai vari orizzonti, soprattutto a quelli posti alle profondità maggiori.

In un tale contesto il *bedrock* può coincidere con il substrato marino pleistocenico (Formazione delle Sabbie Gialle) nel settore meridionale del territorio, mentre in quello settentrionale potrebbe anche coincidere con uno dei livelli ghiaiosi del Sintema Emiliano-Romagnolo superiore, in particolare con quelli dell'AES6 – Subsintema di Bazzano, raffigurati nelle sezioni geologiche.

Alla luce di queste valutazioni, nel presente studio la profondità del substrato sismico è sempre stata assunta prudenzialmente inferiore a 100 m, limite fissato nell'Allegato 2 degli indirizzi regionali, per distinguere tra un profilo stratigrafico tipo PIANURA 1 e un profilo stratigrafico tipo PIANURA 2.

Nelle Carta geologico tecnica, dovendo attenersi agli standard di rappresentazione dettati dagli SRAI, sono state distinte, sulla base delle caratteristiche tessiturali, le seguenti unità di terreni di copertura:

- **GC** – *Ghiaie argillose, miscela di ghiaia, sabbia e argilla*: cartografate nel settore meridionale del Capoluogo e in due areali rispettivamente a sud-est e sud-ovest di Montale, caratterizzati dalla presenza di depositi ghiaiosi nel primo sottosuolo.
- **CL** – *Argille inorganiche di media-bassa plasticità, argille ghiaiose o sabbiose, argille limose, argille magre*: unità nella quale sono state inserite tutte le aree di intercanale dove, il primo sottosuolo, è costituito da depositi prevalentemente fini sino a profondità di 4÷5 metri.

| | | | |
|---|------------------------|--------------|----------|
|  Studio di geologia dott. Stefano Castagnetti | Elaborato | Data | Pag. |
| | Relazione illustrativa | Ottobre 2015 | 34 di 48 |

Sono stati altresì distinti gli ambienti genetico - deposizionali dei terreni di copertura secondo le seguenti classi:

- **pi** - piana inondabile;
- **es** – argini, barre, canali.


Infine nella Carta geologico tecnica sono stati indicati i pozzi e i sondaggi profondi, distinguendoli a seconda che abbiano raggiunto o meno il substrato rigido e la profondità dello stesso oppure la profondità raggiunta dal pozzo/sondaggio.










7.3 Carta delle frequenze naturali dei terreni

Sulla base di tutti i dati tomografici disponibili, sia contenuti nell'archivio comunale, sia di nuova acquisizione, è stata redatta la Carta delle frequenze naturali dei terreni a scala 1:10.000.

Si tratta di una carta derivata dalle indagini speditive di sismica passiva (HVSR sulle vibrazioni ambientali). In questa carta sono stati riportati tutti i punti di misura, con associato il risultato della prova (valore di F_0 del picco significativo a più bassa frequenza corrispondente alla frequenza di risonanza fondamentale e di eventuali altri picchi significativi a più alta frequenza) (Fig. 18).

Le misure sono state suddivise in classi sulla base delle frequenze ($F_0 \leq 1$ Hz; $1 < F_0 \leq 2$ Hz; $2 < F_0 \leq 8$ Hz; $F_0 > 8$ Hz) e dell'ampiezza del picco che individua contrasti di impedenza alti (picco HVSR > 3) o bassi (picco HVSR < 3).

| | | | |
|---|------------------------|--------------|----------|
|  Studio di geologia <i>dott. Stefano Castagnetti</i> | Elaborato | Data | Pag. |
| | Relazione illustrativa | Ottobre 2015 | 35 di 48 |

| frequenza picco significativo (Hz) | ampiezza picco | |
|---------------------------------------|---|---|
| | ≤ 3 | > 3 |
| $F_0 \leq 1$ |  |  |
| $1 < F_0 \leq 2$ |  |  |
| $2 < F_0 \leq 8$ |  |  |
| $F_0 > 8$ |  |  |
| Assenza di picchi significativi |  | |

A lato del simbolo sono riportate la frequenza relative al primo picco significativo (in rosso) e al secondo picco (in blu) se presente

Fig. 18 – Legenda della carta delle frequenze naturali dei terreni

Di seguito, viene proposta una tabella riepilogativa dei risultati delle prove tromografiche, specificando, per ciascuna di esse, frequenza (compresa nell'intervallo 0,1 – 20 Hz) e ampiezza dei picchi principali e secondari, oltre all'unità di appartenenza nella Carta delle microzone omogenee in prospettiva sismica che sarà descritta nel successivo paragrafo 7.4:

| PROVA | MOPS (cod.) | Picco principale F0 | | Picco secondario F1 | |
|------------|----------------|---------------------|-----------------|---------------------|-----------------|
| | | Frequenza (Hz) | Ampiezza H/V | Frequenza (Hz) | Ampiezza H/V |
| 036007P12 | 2001 | 16,5 | <3 | 0,8 | <3 |
| 036007P29 | 2003 | 5 | <3 | - | - |
| 036007P30 | 2003 | 5 | <3 | 1,8 | <3 |
| 036007P48 | 2001 | 16,2 | <3 | 0,8 | <3 |
| 036007P51 | 2001 | 2 | <3 | - | - |
| 036007P60 | 2001 | 17,9 | <3 | - | - |
| 036007P100 | 2001 | 8,3 | <3 | 0,64 | <3 |
| 036007P120 | 2001 | 0,75 | <3 | - | - |
| 036007P121 | 2001 | 16,6 | <3 | - | - |
| 036007P122 | 2001 | 17,5 | <3 | 0,67 | <3 |
| 036007P123 | 2001 | 2,97 | <3 | 8,2 | <3 |
| 036007P124 | 2001 | - | - | - | - |
| 036007P125 | 2001 | 0,62 | <3 | 29,7 | <3 |
| 036007P126 | 2001 | 0,5 | <3 | 2,6 | <3 |
| 036007P127 | 2001 | 0,78 | <3 | | |
| 036007P128 | 2003 | 1,83 | <3 | 0,81 | <3 |
| 036007P129 | 2003 | 16,6 | <3 | 0,86 | <3 |
| 036007P130 | 2002 | 15,3 | <3 | 3,5 | <3 |
| 036007P131 | - | 5,25 | <3 | 20 | <3 |
| 036007P132 | - | - | - | - | - |
| 036007P133 | 2001 | - | | - | - |
| 036007P134 | 2002 | 4,81 | <3 | - | - |
| 036007P135 | 2001 | 11,35 | <3 | 5,8 | <3 |
| 036007P136 | 2001 | 14,8 | <3 | 0,78 | <3 |
| 036007P137 | 2001 | - | - | - | - |
| 036007P138 | 2001 | - | - | - | - |
| 036007P139 | 2001 | - | - | - | - |
| 036007P140 | 2001 | - | - | - | - |
| 036007P141 | 2001 | - | - | - | - |
| 036007P142 | 2001 | 9,8 | <3 | 0,84 | <3 |

Tab. 3 – Riepilogo dei risultati delle prove tromografiche a Castelnuovo Rangone

Sulla base dell'esame di Tab. 3, si possono formulare le seguenti osservazioni:


- dalle prove realizzate all'interno della Zona 1 è possibile osservare picchi in bassa frequenza (0,6÷0,8 Hz), indotti da contrasti di impedenza profondi e in alta frequenza (10÷20 Hz), correlabili alla presenza di livelli ghiaiosi nei primi metri di sottosuolo. Si tratta di picchi che non evidenziano mai alti contrasti di impedenza, in quanto le ghiaie superficiali risultano generalmente caratterizzate da ciottoli di dimensioni inferiori a 10 cm e da matrice limo-sabbiosa talvolta abbondante;
- le prove realizzate all'interno della Zona 2 sono generalmente caratterizzate da picchi di frequenza a 3,5 Hz di ridotta ampiezza, correlabili con superfici di discontinuità a modesta profondità (circa 20 m da p.c.), che sembrerebbero coincidere con i primi banchi di depositi a tessitura prevalentemente ghiaiosa;
- anche la Zona 3 presenta picchi di modesta ampiezza, riscontrabili a frequenze di 1,8 e 0,8 Hz, indotti da contrasti di impedenza situati indicativamente a profondità rispettivamente di 50 e oltre 100 m dal piano campagna. Osservando le sezioni geologiche di Fig. 16 e 17 il picco a 1,8 Hz sembra essere correlabile al tetto del Subsistema di Bazzano (AES6), che nella zona di S. Lorenzo rappresenta il primo orizzonte ghiaioso significativo.

7.4 Carta delle microzone omogenee in prospettiva sismica

La Carta delle microzone omogenee in prospettiva sismica (MOPS), rappresenta il documento fondamentale del primo livello di approfondimento.

In questa cartografia il territorio in esame viene distinto a seconda dell'appartenenza ad una delle seguenti 3 categorie:

1. **zone stabili.** Si tratta di zone con affioramento di un substrato rigido e morfologia pianeggiante o poco acclive, nelle quali non si ipotizzano effetti locali di alcuna natura e in cui non sono richiesti ulteriori approfondimenti. Questa categoria non è presente sul territorio del Comune di Castelnuovo Rangone.
2. **zone stabili suscettibili di amplificazioni locali.** Si tratta di aree in cui sono attese amplificazioni del moto sismico, causate dall'assetto litostratigrafico e/o morfologico locale. All'interno di queste aree si è operata una ulteriore distinzione sulla base delle

| | | | |
|---|------------------------|--------------|----------|
|  Studio di geologia dott. Stefano Castagnetti | Elaborato | Data | Pag. |
| | Relazione illustrativa | Ottobre 2015 | 38 di 48 |

caratteristiche litostratimetriche, identificando profili stratigrafici tipo ai quali possono essere ricondotti gli areali esaminati. In queste zone sono richiesti approfondimenti di secondo livello.

- 3. zone suscettibili di instabilità.** Si tratta di zone nelle quali effetti sismici attesi e predominanti, oltre i fenomeni di amplificazione, sono riconducibili a deformazioni permanenti del territorio, quali instabilità di versante (frane attive e quiescenti), liquefazioni e densificazione. In queste zone sono richiesti approfondimenti di terzo livello. Questa categoria non è presente sul territorio del Comune di Castelnuovo Rangone.

Tutte le aree urbanizzate e urbanizzabili risultano appartenenti alla *categoria 2 - zone stabili suscettibili di amplificazioni locali*, all'interno della quale sono state operate ulteriori distinzioni. Infatti, sulla base delle caratteristiche litostratimetriche, sono state identificate 3 microzone omogenee (Fig. 19), ognuna con un proprio profilo stratigrafico tipo riferito ai primi 50 m di sottosuolo.

Zone stabili suscettibili di amplificazioni locali

2001

ZONA 1: successione stratigrafica costituita da depositi di limi argillosi con intercalazioni di livelli ghiaiosi di spessore generalmente 4–8 metri

2002

ZONA 2: successione stratigrafica che nei primi 30 metri di profondità è rappresentata da prevalenti depositi fini costituiti da miscele di limi e argille, con rare intercalazioni di livelli ghiaioso-sabbiosi


2003

ZONA 3: successione stratigrafica che nei primi 40–50 metri di profondità è costituita da prevalenti depositi fini di limi e argille, con rare intercalazioni di livelli sabbioso-ghiaiosi e sabbioso-limosi di ridotto spessore

Fig. 19 – Legenda della carta delle microzone omogenee in prospettiva sismica (MOPS)

Zona 1 (cod. 2001)

Questa zona ricomprende gran parte del territorio del Capoluogo e l'intero abitato di Montale, ricadendo nella zona delle conoidi minori coalescenti, costituite da prevalenti depositi fini inglobanti

| | | | |
|---|------------------------|--------------|----------|
|  Studio di geologia dott. Stefano Castagnetti | Elaborato | Data | Pag. |
| | Relazione illustrativa | Ottobre 2015 | 39 di 48 |

corpi nastriformi ghiaiosi di modesto spessore. Il sottosuolo risulta infatti caratterizzato da depositi limo-argillosi con intercalazioni lenticolari di livelli ghiaiosi di spessore generalmente pari a 4÷8 metri (Fig. 20). Le ghiaie sono costituite da ciottoli di dimensioni inferiori a 10 cm, in matrice limo-sabbiosa talvolta abbondante.

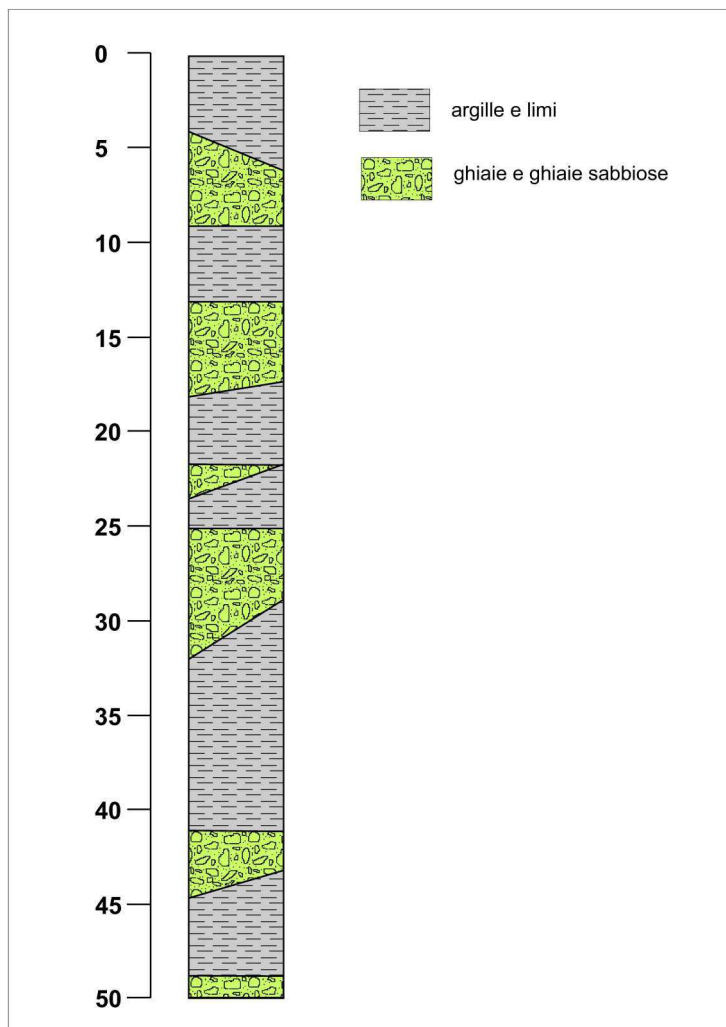



Fig. 20 – Successione stratigrafica cod. 2001

Zona 2 (cod. 2002)

È la zona che identifica il settore ad est di Castelnuovo Rangone e l'abitato di Settecani. Il sottosuolo è caratterizzato da una netta prevalenza di depositi fini sino a profondità di circa 30 metri dal piano campagna, costituiti da miscele di argille e limi, all'interno dei quali si rinvengono locali intercalazioni di livelli lenticolari ghiaiosi di ridotto spessore (1÷2 metri) ed estensione discontinua.

| | | | |
|---|------------------------|--------------|----------|
|  <p>Studio di geologia dott. Stefano Castagnetti</p> | Elaborato | Data | Pag. |
| | Relazione illustrativa | Ottobre 2015 | 40 di 48 |

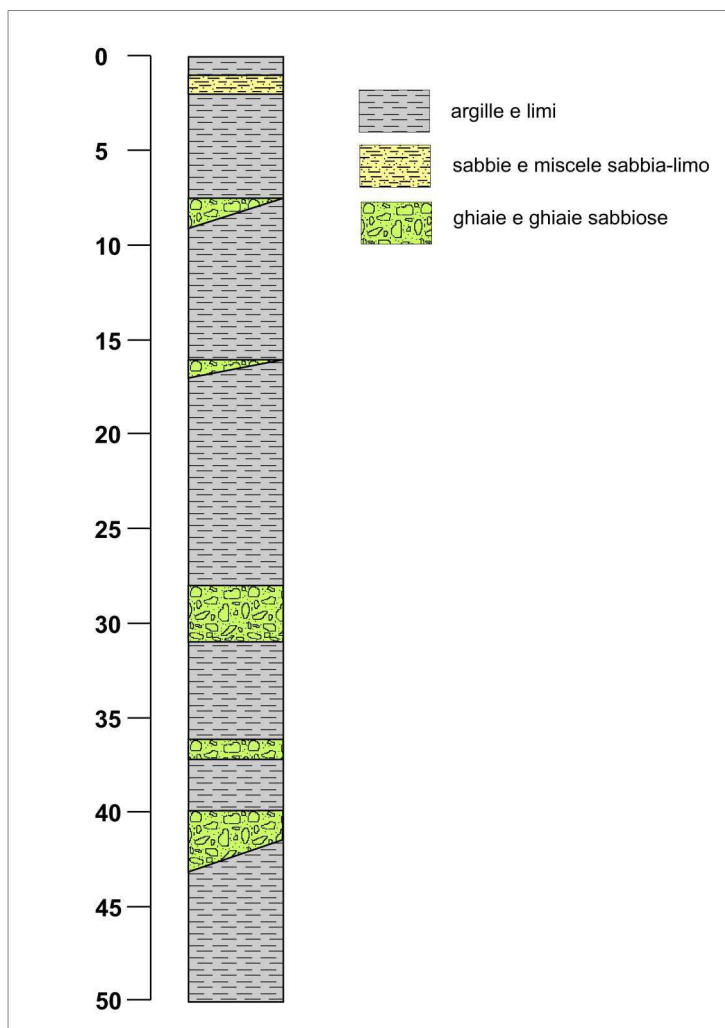



Fig. 21 – Successione stratigrafica cod. 2002

Zona 3 (cod. 2003)

Questa zona ricomprende il settore nord-orientale del territorio comunale su cui scorre il T. Nizzola e comprende l'abitato di Borgo Cavidole. Il sottosuolo è caratterizzato da depositi fini argilloso-limosi con locali e sottili intercalazioni di miscele di sabbie e limi, che si spingono sino alla profondità di circa 50 metri dal piano campagna.

| | | | |
|---|------------------------|--------------|----------|
|  <p>Studio di geologia dott. Stefano Castagnetti</p> | Elaborato | Data | Pag. |
| | Relazione illustrativa | Ottobre 2015 | 41 di 48 |

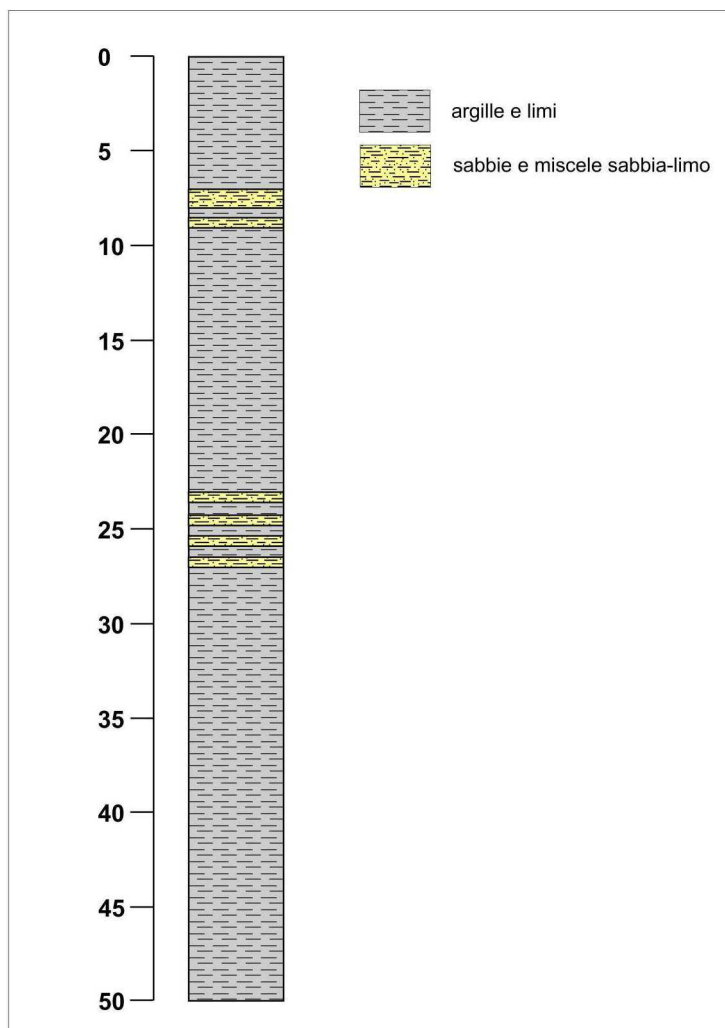



Fig. 22 – Successione stratigrafica cod. 2003

7.5 Carta delle velocità delle onde di taglio S

Nella Carta delle velocità delle onde di taglio S sono stati riportati i punti di misura di V_s con indicazione del valore in m/s di V_{s30} .

Non sono stati indicati valori di V_{sH} in quanto si è ipotizzato che il substrato rigido sia localizzato a profondità maggiori di 50 metri, in quanto nelle misure HVSR non sono stati riscontrati picchi H/V significativi nel range delle medie frequenze.

Sono state altresì distinte le misure di V_s sulla base della tecnica impiegata: MASW, Re.Mi., ecc. (Fig. 23).

| | | | |
|---|------------------------|--------------|----------|
|  <p>Studio di geologia dott. Stefano Castagnetti</p> | Elaborato | Data | Pag. |
| | Relazione illustrativa | Ottobre 2015 | 42 di 48 |




| | |
|---|---|
|  | MASW con indicato il valore di V_{s30} in m/s |
|  | RE.MI con indicato il valore di V_{s30} in m/s |
|  | Interpretazione misura microtermori a stazione singola con indicato il valore di V_{s30} in m/s |

Fig. 23 – Legenda della carta delle velocità delle onde di taglio S

Per la stesura di questa carta sono stati utilizzati esclusivamente i valori di V_{s30} riferiti ad indagini reperite nell'archivio comunale, allegate a pratiche edilizie, e alle le indagini geofisiche eseguite a supporto dello studio di microzonazione sismica effettuato nel 2009.

L'abitato di Montale e gran parte del Capoluogo (Zona 1), in cui il sottosuolo è costituito dalla presenza di intercalazioni ghiaiose entro depositi fini, sono caratterizzati da valori di V_{s30} per lo più compresi tra 330 e 380 m/s.


L'areale ricomprendente il settore NE del capoluogo e la frazione di Settecani (Zona 2), in cui i livelli ghiaiosi nei primi 30 metri di sottosuolo risultano sporadici, è caratterizzato da valori di V_{s30} compresi tra 277 e 294 m/s.

La frazione di Cavidole e l'estremità NE del territorio comunale (Zona 3), in cui non sono presenti intercalazioni grossolane nei primi 40 m di profondità, sono caratterizzate da valori di V_{s30} compresi tra 319 e 332 m/s.

7.6 Carta di Microzonazione Sismica – Livello 2

Gli ultimi elaborati grafici in cui sono riportati i risultati del presente studio sono le Carte dei fattori di amplificazione. In esse viene raffigurata la stima dell'amplificazione effettuata tramite procedure semplificate (utilizzo di abachi e formule), possibile laddove l'assetto geologico è assimilabile ad un modello fisico monodimensionale.

L'amplificazione è stata quantificata in termini di rapporto di accelerazione massima orizzontale (PGA/PGA_0) e di rapporto di Intensità spettrale o di Housner (SI/SI_0) per prefissati intervalli di periodi ($0.1s < T_0 < 0.5s$ e di $0.5s < T_0 < 1.0s$), dove PGA_0 e SI_0 sono rispettivamente l'accelerazione massima orizzontale e l'Intensità di Housner al suolo di riferimento e PGA e SI sono le corrispondenti grandezze calcolate alla superficie dei siti esaminati.

| | | | |
|--|------------------------|--------------|----------|
|  Studio di geologia dott. Stefano Castagnetti | Elaborato | Data | Pag. |
| | Relazione illustrativa | Ottobre 2015 | 43 di 48 |

Per la definizione dell'amplificazione sono state utilizzate le tabelle e le formule indicate dell'Allegato A2 degli indirizzi regionali (Delibera dell'Assemblea Legislativa Regione Emilia-Romagna n° 112 del 2 maggio 2007).

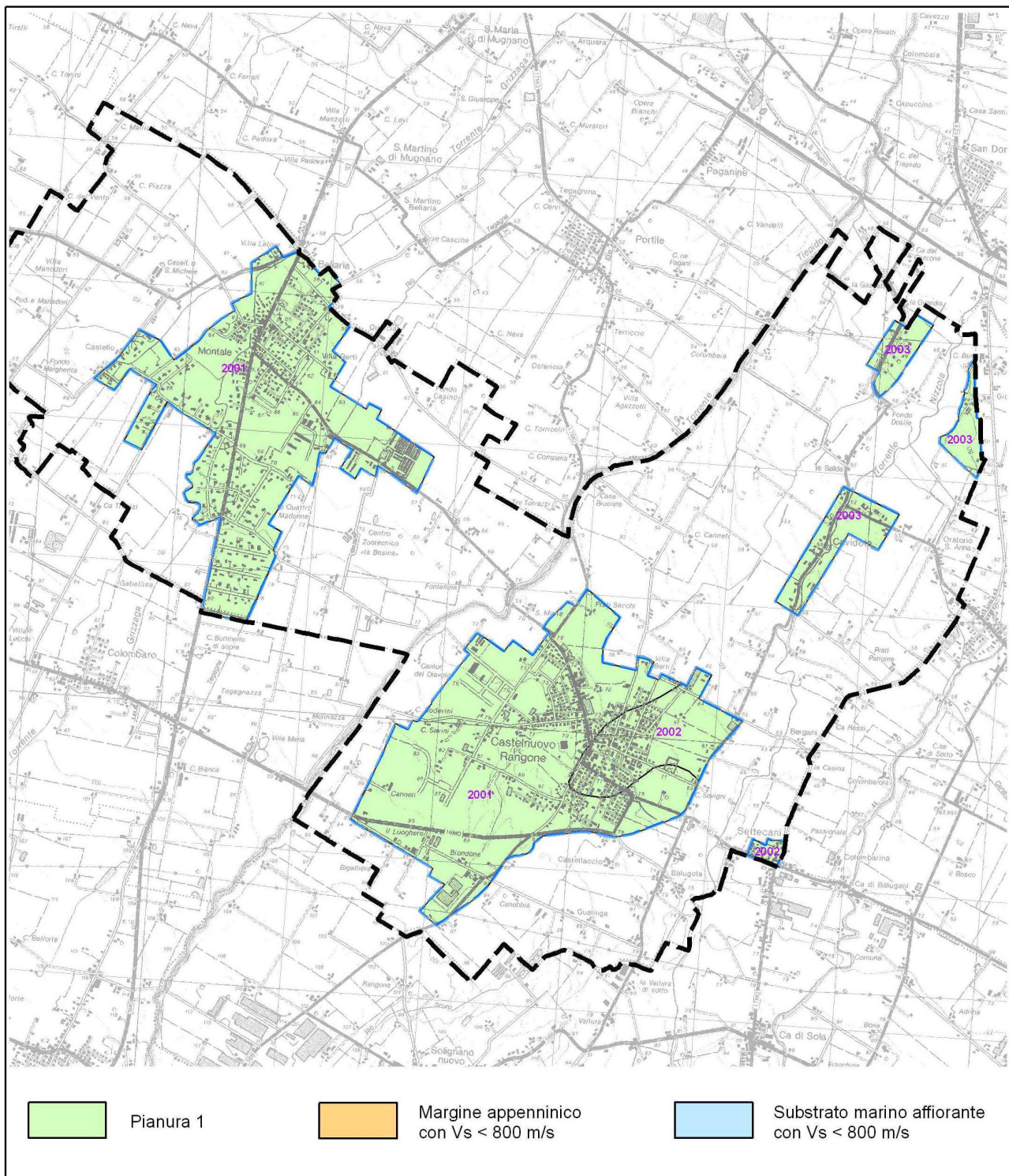


Fig. 24 – Rappresentazione delle Zone sulla base delle Tabelle utilizzate per l'attribuzione dei fattori di amplificazione

Più in particolare è stata impiegata la tabella degli indirizzi regionali denominata “Pianura 1” (Fig. 24), in quanto le aree oggetto di studio ricadono in un ambito di pianura caratterizzato dalla presenza di un substrato poco profondo (<100 m da p.c.).

Pertanto i fattori di amplificazione sismica rispetto ad un suolo di riferimento sono stati ottenuti impiegando la Tab. 5:

| F.A. P.G.A. | | | | | | | | | | |
|-------------|-----|-----|-----|-----|-----|-----|-----|-----|-----|-----|
| V_{S30} | 200 | 250 | 300 | 350 | 400 | 450 | 500 | 600 | 700 | 800 |
| F.A. | 1.7 | 1.7 | 1.6 | 1.6 | 1.6 | 1.5 | 1.4 | 1.2 | 1.0 | 1.0 |

| F.A. INTENSITA' SPETTRALE - $0.1s < T_0 < 0.5s$ | | | | | | | | | | |
|---|-----|-----|-----|-----|-----|-----|-----|-----|-----|-----|
| V_{S30} | 200 | 250 | 300 | 350 | 400 | 450 | 500 | 600 | 700 | 800 |
| F.A. | 1.9 | 1.9 | 1.8 | 1.8 | 1.7 | 1.6 | 1.5 | 1.3 | 1.1 | 1.0 |

| F.A. INTENSITA' SPETTRALE - $0.5s < T_0 < 1.0s$ | | | | | | | | | | |
|---|-----|-----|-----|-----|-----|-----|-----|-----|-----|-----|
| V_{S30} | 200 | 250 | 300 | 350 | 400 | 450 | 500 | 600 | 700 | 800 |
| F.A. | 2.6 | 2.5 | 2.4 | 2.1 | 1.9 | 1.7 | 1.6 | 1.4 | 1.1 | 1.0 |


Tab. 5 – Tabella da utilizzare per la stima di F.A., in termini di rapporto di accelerazione massima orizzontale (PGA/PGA₀) e Intensità di Housner (SI/SI₀), nel caso di profilo stratigrafico tipo PIANURA 1 (da Allegato 2 degli indirizzi regionali)

Dal momento che il territorio del Comune di Castelnuovo Rangone ricade in un contesto di pianura non sono stati considerati fattori di amplificazione per motivi topografici.

Per ciascuna zona individuata nella carta delle MOPS sono state definite le velocità medie delle onde di taglio nei primi 30 m (V_{S30}), analizzando i valori derivanti dalle indagini MASW e RE.MI disponibili, nonché dalle interpretazioni delle misure di microtremore a stazione singola (v. Carta delle velocità delle onde S).

Per le tre zone i valori di riferimento delle V_{S30} , determinati sulla base dei classi di velocità contenuti nelle tabelle dell' Allegato A2 degli indirizzi regionali, sono i seguenti:

- Zona 2001 → $V_{S30} = 350$ m/s

| | | | |
|---|------------------------|--------------|----------|
|  Studio di geologia dott. Stefano Castagnetti | Elaborato | Data | Pag. |
| | Relazione illustrativa | Ottobre 2015 | 45 di 48 |

- Zona 2002 → $V_{s30} = 300 \text{ m/s}$
- Zona 2003 → $V_{s30} = 300 \text{ m/s}$

Utilizzando la tabella “Pianura 1” dell’Allegato 2 degli indirizzi regionali, i fattori di amplificazione (F.A.) per gli areali oggetto di microzonazione sono riportati in Tab. 6:

| | ZONE | | |
|--|------------|------------|------------|
| | 1 | 2 | 3 |
| F.A. P.G.A. | 1.6 | 1.6 | 1.6 |
| F.A. Is (0.1s < T₀ < 0.5s) | 1.8 | 1.8 | 1.8 |
| F.A. Is (0.5s < T₀ < 1.0s) | 2.1 | 2.4 | 2.4 |

Tab. 6 - valori dei Fattori di Amplificazione sismica

7.7 Commenti finali e criticità


Innanzitutto, va precisato che il presente studio presenta carattere sperimentale, trattandosi ancora di una delle prime applicazioni, in un contesto territoriale quale quello indagato, di microzonazione sismica mediante l’applicazione dei criteri contenuti negli ICMS e negli indirizzi regionali.

Del resto, nei capitoli precedenti, è stato ampiamente evidenziato come l’assetto geologico delle aree indagate sia tale per cui la risposta sismica locale risulti condizionata da vari fattori, spesso di non facile definizione, con le informazioni litostratigrafiche e sismiche, sia già disponibili che reperibili a costi sostenibili, primo fra tutti la definizione della profondità del *bedrock sismico* (sequenza litostratigrafica caratterizzata da una velocità delle onde di taglio V_s maggiore o uguale a 800 m/s).

In particolare l’interpretazione delle indagini tomografiche effettuate - che restituiscono curve H/V in cui generalmente non sono presenti picchi di ampiezza significativa, non sempre consentono di avere informazioni certe circa la profondità del bedrock.

Ciononostante, per l’intero territorio urbanizzato e urbanizzabile, è stato possibile effettuare, tramite procedure semplificate, una microzonazione del territorio con attribuzione dei fattori di amplificazione.


Questi risultano di egual valore in termini di PGA e I.S. $0,1s < T_0 > 0,5s$ per tutti gli areali oggetto di microzonazione, mentre si registra una maggior amplificazione per I.S. $0,5s < T_0 < 1,0s$ nella fascia orientale del territorio comunale, dove prevalgono sedimenti fini sino a profondità di diverse decini di metri.

| | | | |
|---|------------------------|--------------|----------|
|  <p>Studio di geologia dott. Stefano Castagnetti</p> | Elaborato | Data | Pag. |
| | Relazione illustrativa | Ottobre 2015 | 46 di 48 |

8. Confronto della distribuzione dei danni degli eventi passati

È stato richiesto all'Ufficio Tecnico del Comune di Castelnuovo Rangone se era disponibile documentazione di archivio, relativa a danni sul territorio comunale provocati da eventi sismici avvenuti in passato, ma la risposta è stata negativa, in quanto non risultano agli atti documenti specifici.

I recenti eventi sismici del maggio 2012 non hanno provocato danni significativi a fabbricati pubblici e/o privati.


| | | | |
|---|------------------------|--------------|----------|
|  Studio di geologia <i>dott. Stefano Castagnetti</i> | Elaborato | Data | Pag. |
| | Relazione illustrativa | Ottobre 2015 | 47 di 48 |

9. Elaborati

Nel corso dello studio sono stati redatti i seguenti elaborati grafici (tutti alla scala 1:10.000):

- Carta delle indagini
- Carta geologico tecnica
- Carta delle frequenze naturali dei terreni
- Carta delle microzone omogenee in prospettiva sismica
- Carta delle velocità delle onde di taglio S (V_s)
- Carta di microzonazione sismica Livello 2 - FA_{PGA}
- Carta di microzonazione sismica Livello 2 - $FA_{IS\ 0,1 - 0,5\ s}$
- Carta di microzonazione sismica Livello 2 - $FA_{IS\ 0,5 - 1,0\ s}$

Al termine dello studio, come richiesto dalla Regione Emilia-Romagna, è stata prodotta una cartografia di sovrapposizione tra gli elementi schedati nell'Analisi della Condizione Limite per l'Emergenza (CLE) e le risultanze della MS.

| | | | |
|---|------------------------|--------------|----------|
|  Studio di geologia <i>dott. Stefano Castagnetti</i> | Elaborato | Data | Pag. |
| | Relazione illustrativa | Ottobre 2015 | 48 di 48 |